

สำนักหอสมุด มหาวิทยาลัยบูรพา
ต.แสนสุข อ.เมือง ช.ชลบุรี 20131

รายงานวิจัย

เรื่อง

การคัดเลือกเชื้อรากที่มีกิจกรรมย่อยสลายลิกนินจากแหล่งธรรมชาติ

(Screening for Ligninolytic Fungi from Natural Sources)

100128

โดย

ศิริโฉนด ทุ่งเก้า

ภาควิชาชีววิทยา คณะวิทยาศาสตร์
มหาวิทยาลัยบูรพา

งานวิจัยนี้ได้รับการสนับสนุนทุนวิจัยจากงบประมาณแผ่นดิน ประจำปี 2542

ประกาศคุณปการ

งานวิจัยนี้ได้รับการสนับสนุนเงินทุนจากงบประมาณแผ่นดินของมหาวิทยาลัยบูรพา
ประจำปีงบประมาณ 2542 ผู้วิจัยขอขอบพระคุณอย่างสูงมา ณ โอกาสนี้

ขอขอบคุณภาควิชาจุลชีววิทยา คณะวิทยาศาสตร์ที่ได้ให้ความอนุเคราะห์สถานที่
เครื่องมือ และวัสดุอุปกรณ์บางอย่างในการวิจัยจนสำเร็จคล่องด้วยดี และขอขอบคุณ
นายสุริยา ร้อยพุทธ นิสิตชั้นปีที่ 4 วิชาเอกจุลชีววิทยาที่มีส่วนร่วมในการวิจัยบางส่วน

สุดท้ายนี้ขอขอบคุณคณะวิทยาศาสตร์ มหาวิทยาลัยบูรพาที่ได้ให้การสนับสนุนและ
ส่งเสริมการทำวิจัยนี้เป็นอย่างดี

ศิริโฉม ทุ่งเก้า

มกราคม 2543

บทคัดย่อ

จากการนำเชื้อรากจำนวน 76 ไอโซเลทที่แยกได้จากรายอ้อยถั่วไม้มีผู้ที่เก็บจากแหล่งธรรมชาติในประเทศไทยมาคัดเลือกหาเชื้อรากที่มีกรรมบลลักษณ์ โดยวิธีตรวจการย่อยถั่ว Poly R-478 ของเชื้อรากที่เจริญในอาหารเหลวในสภาวะที่ไม่มีการเขย่าสามารถคัดเลือกเชื้อรากที่ย่อยถั่วได้ทั้งหมด 13 ไอโซเลท หรือคิดเป็นประมาณร้อยละ 17 ของราากที่แยกได้ทั้งหมด จากการตรวจสอบการผลิตเอนไซม์ลิกนินเพอร์ออกซิเดสและเอนไซม์แคลคेशันราชั้ง 13 ไอโซเลทในอาหารเหลวที่สภาวะเดิมพบเฉพาะกิจกรรมของแคลคेशันราากที่ย่อยถั่วได้จำนวน 8 ไอโซเลทแต่ตรวจไม่พบกิจกรรมของลิกนินเพอร์ออกซิเดสในราากที่ย่อยถั่วได้ทั้ง 13 ไอโซเลทรวมทั้งราอ้างอิง *Sporotrichum pulverulentum* TISTR 3326 และ *Trametes versicolor* TISTR 3324

Abstract

Sixty seven fungal isolates obtained from wood decay fungi and decay wood samples collected from various natural sources of Thailand were screened for ligninolytic activities. Poly R-478 dye decolorization of the static fungal culture used as the screening method resulted in 13 fungal isolates (about 17% of total isolates) with decolorizing ability. These isolates were then tested for production of lignin peroxidase and laccase activity in the same condition. The results indicate that 8 of 13 isolates displaying laccase activity whereas lignin peroxidase activity was not detected in all 13 isolates, as well as in reference fungal strains, *Sporotrichum pulverulentum* TISTR 3326 and *Trametes versicolor* TISTR 3324.

2.1	การกรองแยกเชื้อราที่มีความสามารถดัดแปลงลินิน	1
2.2	การทดสอบความสามารถดัดแปลงลินิน	2
2.3	การเป็นพิษต่อเซลล์เม็ดลินินในเชื้อราก	3
2.4	การตรวจวัดการผลิตกลาเซอติกนิน ไอลาร์กินและอีริก	4
2.5	การใช้ฟาร์บิโนเรชันในการวัดการผลิตกลาเซอติกนิน	5
2.6	การจำแนกเชื้อรากเชิงเดียว	6
3.1	สัมผัสราก	7
3.2	การทดสอบ	8
3.2.1	การเก็บตัวอย่าง	9
3.2.2	การแยกเชื้อรากเชิงเดียว	10
3.2.3	การทดสอบวัดการดัดแปลงสี Poly R-478	11
3.2.4	การวัดกิจกรรมของกลาเซอติก	12
4.1	การเดบตัวอย่างและรวมเชื้อรากเชิงเดียว	13
4.2	การตรวจวัดการดัดแปลงสี Poly R-478	14
4.3	การตัดต่อการรวมของเชื้อราก	15
4.4	การจำแนกเชื้อราก	16

สารบัญ

	หน้า
ประกาศคุณูปการ	ก
บทคัดย่อภาษาไทย	ข
บทคัดย่อภาษาอังกฤษ	ค
สารบัญตาราง	น
สารบัญภาพ	ช
คำย่อ	ณ
บทที่ 1 บทนำ	1
บทที่ 2 เอกสารและรายงานวิจัยที่เกี่ยวข้อง	3
2.1 โครงสร้างและแหล่งที่มาลิกนิน	3
2.2 เชื้อราที่ย่อยสลายลิกนิน	4
2.3 ชีวเคมีของการย่อยสลายลิกนินโดยเชื้อรา	6
2.4 การตรวจวัดการย่อยสลายลิกนินโดยใช้สีโพลิเมอริก	11
2.5 การใช้ประโยชน์จากการย่อยสลายลิกนิน	12
2.6 รายงานวิจัยที่เกี่ยวข้อง	14
บทที่ 3 วัสดุอุปกรณ์และวิธีทดลอง	17
3.1 วัสดุอุปกรณ์	17
3.2 วิธีทดลอง	18
3.2.1 การเก็บตัวอย่าง	18
3.2.2 การแยกเชื้อราบริสุทธิ์	18
3.2.3 การตรวจวัดการย่อยสลายสี Poly R-478	19
3.2.4 การวัดกิจกรรมของเอนไซม์	19
บทที่ 4 ผลการทดลอง	22
4.1 การเก็บตัวอย่างและการแยกเชื้อราบริสุทธิ์	22
4.2 การตรวจวัดการย่อยสลายสี Poly R-478	28
4.3 การวัดกิจกรรมของเอนไซม์	35
4.4 การจำแนกเชื้อรา	38

	หน้า
บทที่ ๕ อภิปรายและสรุปผลการทดลอง	39
เอกสารอ้างอิง	43
ภาคผนวก ก	47
ภาคผนวก ข	48

1. ตัวอย่างที่ ๑ ทดสอบการลดขนาดของสารต้านอนุมูลอิสระ Poly R-478 ที่มีความถี่ ๔๐๐๘๘ นาโนเฮกตอรัช (Hz) ที่อุณหภูมิ ๒๓°C ที่ต้องการจะได้รับ ๔๐๐๘๘ นาโนเฮกตอรัช (Hz) ที่อุณหภูมิ ๒๓°C ๔ วันที่ใช้เวลา ๒๒ นาที ๔๗.๖๗๘๘ นาที
2. ตัวอย่างที่ ๒ ทดสอบการลดขนาดของสารต้านอนุมูลอิสระ Poly R-478 ที่มีความถี่ ๔๐๐๘๘ นาโนเฮกตอรัช (Hz) ที่อุณหภูมิ ๒๓°C ที่ต้องการจะได้รับ ๔๐๐๘๘ นาโนเฮกตอรัช (Hz) ที่อุณหภูมิ ๒๓°C ๔ วันที่ใช้เวลา ๒๘ นาที ๔๗.๖๗๘๘ นาที
3. ตัวอย่างที่ ๓ ทดสอบการลดขนาดของสารต้านอนุมูลอิสระ Poly R-478 ที่มีความถี่ ๔๐๐๘๘ นาโนเฮกตอรัช (Hz) ที่อุณหภูมิ ๒๓°C ที่ต้องการจะได้รับ ๔๐๐๘๘ นาโนเฮกตอรัช (Hz) ที่อุณหภูมิ ๒๓°C ๔ วันที่ใช้เวลา ๒๙ นาที ๔๗.๖๗๘๘ นาที
4. ตัวอย่างที่ ๔ ทดสอบการลดขนาดของสารต้านอนุมูลอิสระ Poly R-478 ที่มีความถี่ ๔๐๐๘๘ นาโนเฮกตอรัช (Hz) ที่อุณหภูมิ ๒๓°C ที่ต้องการจะได้รับ ๔๐๐๘๘ นาโนเฮกตอรัช (Hz) ที่อุณหภูมิ ๒๓°C ๔ วันที่ใช้เวลา ๓๖ นาที ๔๗.๖๗๘๘ นาที

สารบัญตาราง

ตารางที่

หน้า

1	จำนวนตัวอย่างที่เก็บจากแหล่งต่างๆ ในประเทศไทยและจำนวนไอโซเลท ของเชื้อร้ายที่แยกได้	22
2	อัตราส่วนค่าการดูดกลืนแสงที่ความยาวคลื่น 520 และ 350 นาโนเมตร (A_{520}/A_{350}) ของสี Poly R-478 ที่ระยะเวลาต่างๆ เมื่อเติมสีในเชื้อร้าย 4 วันที่จริง ในอาหารเหลวสูตรจำกัดในโตรเจน ในสภาวะไม่มีการเขย่า	28
3	เปรียบเทียบปริมาณการลดลงของอัตราส่วนค่าการดูดกลืนแสงที่ความยาวคลื่น 520 และ 350 นาโนเมตร จากเวลา 0 ชม. ถึง 120 ชม. ($\Delta A_{520}/A_{350}$) ของราที ย่อยสลายสี Poly R-478 ได้	29
4	ปริมาณแลคเคสที่ผลิตโดยราทีย่อยสลายสี Poly R-478 และรากอิง เมื่อเดิมเชื้อ [†] ในอาหารเหลวสูตรจำกัดในโตรเจนในสภาวะไม่มีการเขย่า เป็นเวลา 5 และ 7 วัน	36

สารบัญภาพ

ภาพที่

หน้า

1 โครงสร้างของลิกนิน	3
2 โครงสร้างของ coniferyl alcohol, sinapyl alcohol และ p-coumaryl alcohol	4
3 การออกซิเดชันแบบถ่ายเทอเลคตอรอนเพียง 1 ตัวจากวงแหวนอะโรมาติกโดยกิจกรรมของเอนไซม์เปอร์ออกซิเดส	7
4 ลักษณะเบสิคิโอลิคาร์พของราหัส P3	23
5 ลักษณะเบสิคิโอลิคาร์พของราหัส P10	23
6 ลักษณะเบสิคิโอลิคาร์พของราหัส KY3	24
7 ลักษณะเบสิคิโอลิคาร์พของราหัส KY5	24
8 ลักษณะเบสิคิโอลิคาร์พของราหัส KY8	25
9 ลักษณะเบสิคิโอลิคาร์พของราหัส KY22	25
10 ลักษณะเบสิคิโอลิคาร์พของราหัส KK5	26
11 ลักษณะไม้มุที่แยกได้ราหัส KK9	26
12 ลักษณะเบสิคิโอลิคาร์พของราหัส KC2	27
13 ลักษณะเบสิคิโอลิคาร์พของราหัส KC6	27
14 การเปลี่ยนแปลงของอัตราส่วนค่ากลืนแสงที่ความยาวคลื่น 520 และ 350 นาโนเมตร (A_{520}/A_{350}) ของสี Poly R-478 โดยร้าที่ย่อยสลายสีได้ดี เมื่อเลี้ยงเชื้อในอาหารเหลวสูตรจำกัดในโตรเจน ในสภาวะไม่มีการเบย่า	30
15 ลักษณะการคงของสี Poly R-478 ในอาหารเลี้ยงเชื้อโดยเชื้อร้าที่ย่อยสลายสีได้ดี หลังการเติมสีเป็นเวลา 120 ชม.	31
16 สเปกตรัมแสดงการลดลงของค่าการดูดกลืนแสงที่ความยาวคลื่น 520 นาโนเมตร ของสี Poly R-478 โดยร้า P10	32
17 การเปลี่ยนแปลงของอัตราส่วนค่ากลืนแสงที่ความยาวคลื่น 520 และ 350 นาโนเมตร (A_{520}/A_{350}) ของสี Poly R-478 โดยร้าที่ย่อยสลายสีได้ปานกลาง เมื่อเลี้ยงเชื้อในอาหารเหลวสูตรจำกัดในโตรเจน ในสภาวะไม่มีการเบย่า	33
18 การเปลี่ยนแปลงของอัตราส่วนค่ากลืนแสงที่ความยาวคลื่น 520 และ 350 นาโนเมตร (A_{520}/A_{350}) ของสี Poly R-478 โดยร้าที่ย่อยสลายสีได้น้อย เมื่อเลี้ยงเชื้อในอาหารเหลวสูตรจำกัดในโตรเจน ในสภาวะไม่มีการเบย่า	34

ภาพที่

หน้า

- 19 ปริมาณแลคเคสที่ผลิตโดยราที่ย่อยสลายตัว Poly R-478 และราอ้างอิง 2 สายพันธุ์ เมื่อเลี้ยงเชื้อในอาหารเหลวสูตรจำกัดในโตรเจนในสภาพไม่มีการเขย่า เป็นเวลา 5 และ 7 วัน

37

កំយែង

คำย่อ	คำเต็ม
%	องศาเซลเซียส
ช.m.	ชั่วโมง
น.m.	นาโนเมตร
ม.d.	มิลลิลิตร
A	Absorbance
%	เปอร์เซ็นต์

บทที่ 1

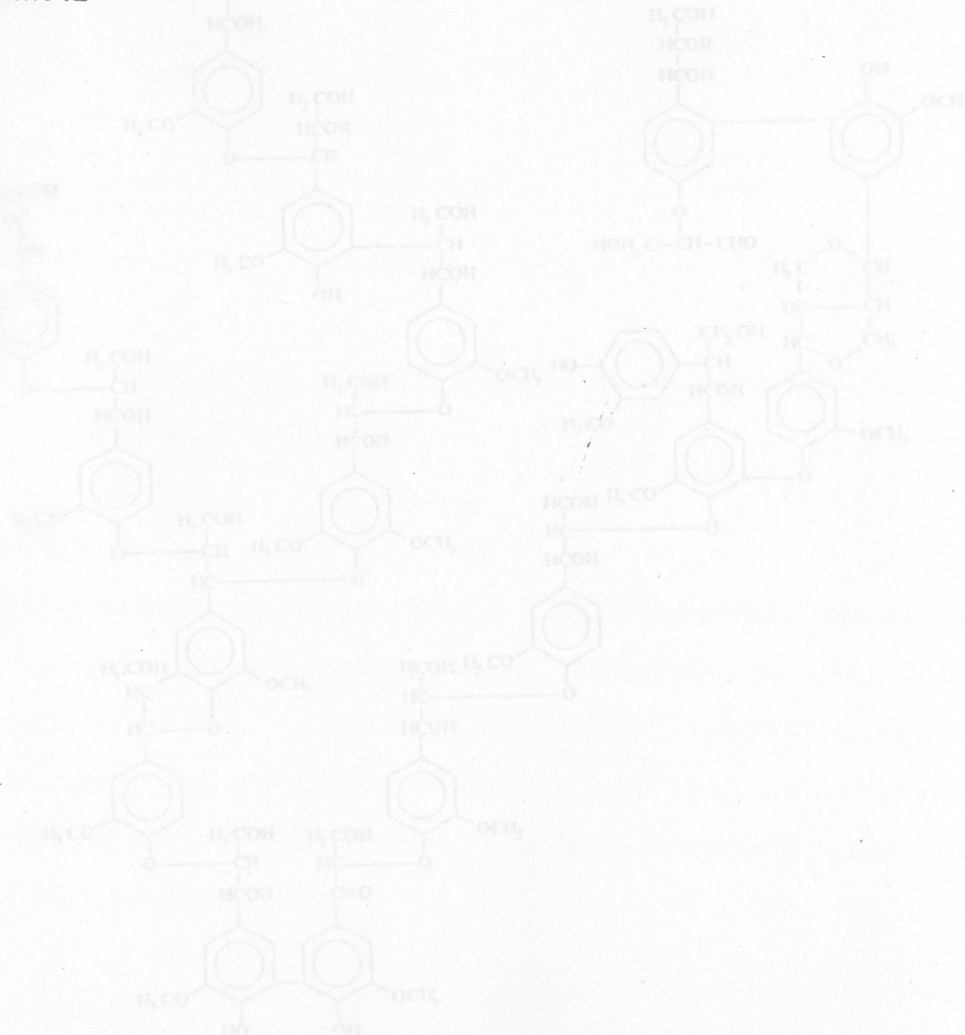
บทนำ

ลิกนิน (lignin) เป็นสารประกอบโพลิเมอร์ที่พบเป็นส่วนประกอบในพืชในปริมาณมาก เป็นอันดับสองรองจากเซลลูโลส เป็นส่วนสำคัญที่ทำให้เกิดโครงสร้างและความแข็งของเนื้อไม้ ลิกนินเป็นโพลิเมอร์ที่มีโครงสร้างแบบสามมิติ มีหน่วยย่อยเป็นสารประเกทฟินิล โพรพานอยด์ (phenyl propanoid) เชื่อมต่อกันด้วยพันธะ C-C และ C-O-C แบบต่างๆ ด้วยเหตุที่ลิกนินมีโครงสร้างที่ซับซ้อนและไม่เป็นระเบียบ ดังนั้น จึงทำให้ยากต่อการถูกย่อยลายหรือทำให้แตกออกโดยเอนไซม์จากจุลินทรีย์ ซึ่งคุณสมบัตินี้บันทึกว่าเป็นผลดีต่อพืชในแง่การป้องกันการเข้าทำลายพืชโดยเชื้อโร อย่างไรก็ตาม พบว่าจุลินทรีย์บางชนิดโดยเฉพาะอย่างยิ่ง ราขาว (white-rot fungi) ซึ่งเป็นรากรุ่มหนึ่งในพวงรายอย่างลายไม้ (wood decay fungi) มีระบบเอนไซม์ที่ย่อยลายลิกนิน (ligninolytic enzymes) เอนไซม์เหล่านี้ได้แก่เอนไซม์ประเกทเปอร์ออกซิเดสและออกซิเดสหลายชนิด ที่สำคัญคือเอนไซม์ลิกนินเปอร์ออกซิเดส (lignin peroxidases) แมลงกานีส เปอร์ออกซิเดส (manganese peroxidases) และแอลกेटาสหรือฟีนอลออกซิเดส เป็นต้น เนื่องจาก การย่อยลายลิกนินโดยเอนไซม์เหล่านี้มีความพิเศษ คือ มีกลไกแบบไม่จำเพาะ (nonspecific) ดังนั้น จึงมีความสนใจในการนำเชื้อราและเอนไซม์จากเชื้อราคุณนี้มาใช้ย่อยลายสารประกอบเคมีสังเคราะห์ชนิดอื่นที่มีโครงสร้างประกอบด้วยวงแหวนอะโรมาติก (aromatic ring) เช่นเดียว กับลิกนิน ซึ่งปัจจุบันสารเคมีเหล่านี้เป็นปัจจุหาสำคัญของการปนเปื้อนในสิ่งแวดล้อม ตัวอย่าง ของสารเคมีที่มีการทดลองนำเชื้อรา>yอยลายลิกนินมาใช้ย่อยลายได้แก่ สารประกอบ polycyclic aromatic hydrocarbons สารประกอบกลุ่มคลอร์ฟีนอล (chlorophenol) สียว้อมสังเคราะห์ (synthetic dyes) รวมทั้งน้ำทึ้งจากโรงงานอุตสาหกรรมที่มีสารตีน้ำ น้ำทึ้งจากโรงงานฟอกเยื่อกระดาษและน้ำทึ้งที่มีการก้น้ำตาล เป็นต้น

การตรวจวัดการ>yอยลายสารประกอบใดๆ โดยกิจกรรมของจุลินทรีย์มีวิธีการคือ การตรวจหาสารตัวกลางหรือผลิตภัณฑ์ที่ได้จากการ>yอยลายโดยเอนไซม์ ดังได้ที่กล่าวมาแล้วถึง ความซับซ้อนและโครงสร้างที่ไม่แน่นอนของลิกนินซึ่งส่งผลให้เตรียมลิกนินในรูปบริสุทธิ์ได้ยาก ดังนั้นจึงมีการพัฒนาวิธีที่ง่ายและเร็วกว่าวิธีเดิมขึ้นเพื่อตรวจวัดกิจกรรมการ>yอยลายลิกนินของ เชื้อรา ซึ่งวิธีดังกล่าวอาศัยสียว้อมโพลิเมอริก (polymeric dye) ชนิดหนึ่งคือ Poly R-478 เป็นสับสเตรทของเอนไซม์>yอยลายลิกนิน เนื่องจากสี Poly R-478 มีโครงสร้างเป็นอนุพันธ์ของ แอนตราควิโนน (antraquinone) ซึ่งมีวงแหวนอะโรมาติกอยู่ชั้นเดียวในโครงสร้างของลิกนิน นอกจากนี้การวัดการ>yอยลายลิกนินสียว้อมยังใช้วิธีวัดการดูดกลืนแสง (spectrophotometry) ได้ ดังนั้น

จึงมีความสะดวกในการคัดเลือกเชื้อราจำนวนมากเนื่องจากเป็นวิธีที่ง่ายและไม่ต้องการเครื่องมือที่ซับซ้อนยุ่งยาก

ในปัจจุบันเชื้อราอย่างสลายลิกนินที่มีการศึกษา กันอย่างกว้างขวางมากที่สุด ได้แก่ ราขาว *Phanerocheate chrysosporium* อายุรักษ์ตามการคัดเลือกหาเชื้อเพื่อราชนิดใหม่ที่มีกิจกรรมย่อยสลายลิกนินก็ยังมีความจำเป็น ทั้งนี้เนื่องจากอาจทำให้ได้ราที่มีคุณสมบัติดีขึ้น เช่น ย่อยสลายสารเคมีชนิดหนึ่ง ได้เร็วและสมบูรณ์มากขึ้น หรือย่อยสลายสารเคมีได้หลากหลายมากขึ้น เป็นต้น และเนื่องจากประเทศไทยซึ่งตั้งอยู่ในเขต草原ชั้นที่มีความหลากหลายทางพันธุกรรมของสัตว์ชีวิตชนิดต่างๆ รวมทั้งเชื้อรากมาก ดังนั้นงานวิจัยนี้จึงต้องการเก็บรวบรวมเชื้อรากคุณภาพอย่างไว้เพื่อนำมาตรวจหากิจกรรมย่อยสลายลิกนินโดยการวัดอัตราการย่อยสลายสี Poly R-478 จากนั้นจึงนำเชื้อราที่ย่อยสลายสีได้ไปวัดกิจกรรมของเอนไซม์ย่อยสลายลิกนินบางชนิด ซึ่งผลการศึกษาจะทำให้คัดเลือกได้เชื้อรากพันธุ์ที่มีกิจกรรมย่อยสลายลิกนินสูงจำนวนหนึ่งสำหรับการศึกษาในขั้นต่อไป



ภาพที่ 1 ไตรสารร้ายของเชื้อกัน

แหล่ง: Heinzell and Messner (1997)

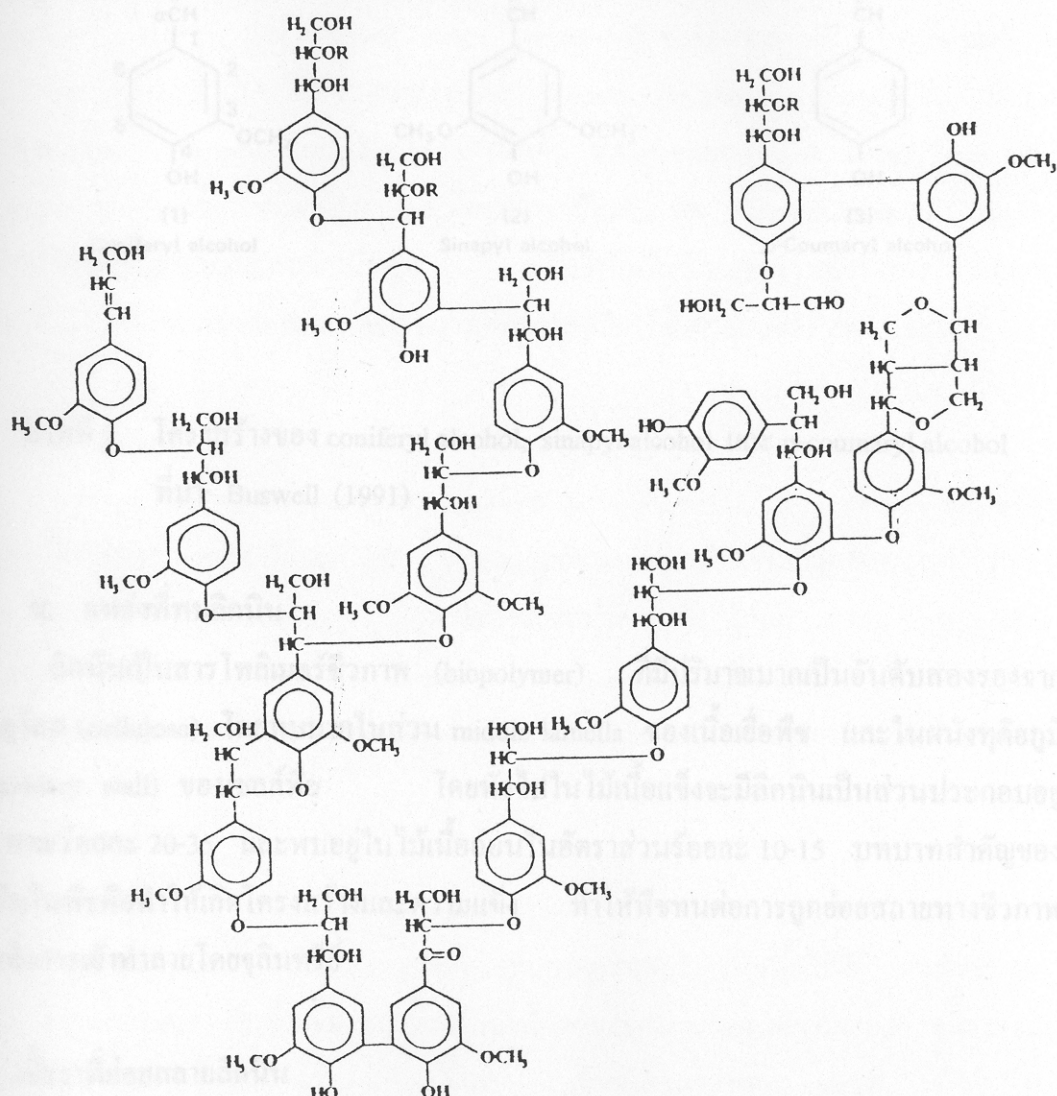
บทที่ 2

เอกสารและงานวิจัยที่เกี่ยวข้อง

2.1 โครงสร้างและแหล่งที่พบลิกนิน

ก. โครงสร้างของลิกนิน

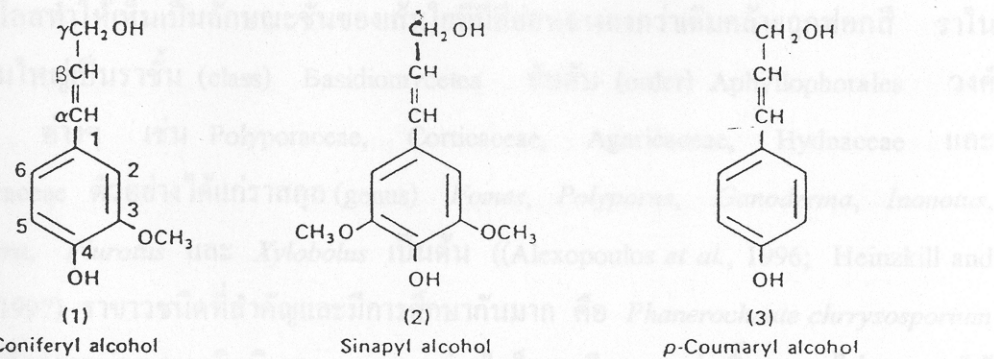
ลิกนิน (lignin) เป็นสารประกอบโพลีเมอร์อะโรมาติก (aromatic polymer) มีหน่วยย่อย (monomer) คือ oxyphenylpropanoid ต่อ กันด้วยพันธุ C-C และ C-O-C แบบต่างๆ ลิกนิน เป็นโพลีเมอร์ที่มีลักษณะ heterogeneous ที่มีน้ำหนักโมเลกุลสูง ไม่คงถาวรน้ำ และมีโครงสร้างเป็นแบบสามมิติ ลักษณะโครงสร้างของลิกนินดังภาพที่ 1



ภาพที่ 1 โครงสร้างของลิกนิน

ที่มา: Heinzkill and Messner (1997)

สารตั้งต้น (precursor) ของโมเลกุลลิกนินได้แก่แอลกอฮอล์ 3 ชนิด คือ p-coumaryl, coniferyl และ sinapyl alcohol (ภาพที่ 2) ลิกนินที่พบในไม้เนื้ออ่อน (softwood lignin) ประกอบด้วยหน่วยย่อยของชนิด coniferyl เป็นส่วนใหญ่ ในขณะที่ลิกนินที่พบในไม้เนื้อแข็ง (hardwood lignin) จะมีหน่วยย่อยเป็น coniferyl และ sinaphyl ในอัตราส่วนเท่าๆ กัน สำหรับ ลิกนินที่พบในพืชจะประกอบด้วยสารตั้งต้นทั้ง 3 ชนิด



ภาพที่ 2 โครงสร้างของ coniferyl alcohol, sinapyl alcohol และ p-coumaryl alcohol
ที่มา: Buswell (1991)

ว. แหล่งที่พบลิกนิน

ลิกนินเป็นสารโพลิเมอร์ชีวภาพ (biopolymer) ที่มีปริมาณมากเป็นอันดับสองรองจาก เซลลูโลส (cellulose) โดยพบมากในส่วน middle lamella ของเนื้อเยื่อพืช และในผนังหุ้ดิญูมิ (secondary wall) ของเซลล์พืช โดยทั่วไปไม้เนื้อแข็งจะมีลิกนินเป็นส่วนประกอบอยู่ ประมาณร้อยละ 20-35 และพบอยู่ในไม้เนื้ออ่อนในอัตราส่วนร้อยละ 10-15 บทบาทสำคัญของ ลิกนินในพืชคือทำให้เกิดโครงสร้างและความแข็ง ทำให้พืชทนต่อการถูกย่อยลายทางชีวภาพ รวมทั้งการเข้าทำลายโดยจุลินทรีย์

2.2 เชื้อราที่ย่อยลายลิกนิน

แม้ว่าโครงสร้างของลิกนินจะมีความซับซ้อนและยากต่อการถูกย่อยลายแต่ก็มีจุลินทรีย์ บางชนิดสามารถย่อยลายหรือเปลี่ยนรูปลิกนินได้ ซึ่งจุลินทรีย์ที่สำคัญได้แก่ เชื้อราที่ย่อยลาย

เนื้อไม้หรือรากที่ทำให้เนื้อไม้ผุพัง (wood rotting fungi หรือ wood decay fungi) เชื้อรานอกกลุ่มนี้ แบ่งออกเป็น 3 กลุ่มย่อย ได้แก่ white-rot, brown-rot และ soft-rot fungi (Alexopoulos *et al.*, 1996; Odier and Artaud, 1992)

White-rot fungi

ได้แก่กลุ่มของราที่ย่อยสลายได้ทั้งเซลลูโลส เอมิเซลลูโลส และลิกนินในพืช โดยสามารถย่อยสลายลิกนินและเอมิเซลลูโลส ได้เร็วกว่าเซลลูโลส นอกจากนั้นรากกลุ่มนี้บางชนิดยังย่อยสลายลิกนินอย่างสมบูรณ์ได้ผลผลิตเป็นครั้งบันดาล ได้ออกไซด์และน้ำ การที่ราในกลุ่มนี้ถูกเรียกว่าราขาว หรือ white-rot นั้นเนื่องจากจะย่อยสลายลิกนินและเอมิเซลลูโลสสกัด่อนเหลือส่วนที่เป็นเซลลูโลสทำให้เห็นเป็นลักษณะชั้นของเส้นใยที่มีสีอ่อนจางลงกว่าเดิมคล้ายถูกฟอกสี ราในกลุ่มนี้ส่วนใหญ่เป็นราชัน (class) Basidiomycetes อันดับ (order) Aphylophorales วงศ์ (family) ต่างๆ เช่น Polyporaceae, Corticaceae, Agaricaceae, Hydnaceae และ Thelephoraceae ตัวอย่างได้แก่ราสกุล (genus) *Fomes*, *Polyporus*, *Ganoderma*, *Inonotus*, *Bjerkandera*, *Plurotus* และ *Xylobolus* เป็นต้น ((Alexopoulos *et al.*, 1996; Heinzkill and Messner, 1997) ราขาวชนิดที่สำคัญและมีการศึกษา กันมาก คือ *Phanerocheate chrysosporium* เนื่องจากมีกิจกรรมย่อยสลายลิกนินสูง อย่างไรก็ตาม มีรายงานว่าเชื้อราขาวไม่สามารถใช้ลิกนินเป็นแหล่งคาร์บอนและแหล่งพลังงานเพียงชนิดเดียวได้ (Kirk and Farrel, 1987)

Brown-rot fungi

ราในกลุ่มนี้ย่อยสลายเซลลูโลสและเอมิเซลลูโลสได้ดีกว่าลิกนิน ดังนั้น เมื่อเจริญบนเนื้อไม้ได้ระยะหนึ่งจะทำให้เนื้อไม้มีสีน้ำตาลและมีลักษณะเป็นก้อนสีเหลี่ยมลูกบาศก์ที่ร่วนเปราะเนื่องจากส่วนของลิกนินเหลืออยู่ ตัวอย่างของราในกลุ่มนี้ ได้แก่ ราชัน Basidiomycetes บางสกุล เช่น *Poria*, *Polyporus*, *Lenzites*, *Polyporus* และ *Tyromyces* เป็นต้น การย่อยสลายลิกนิน ของราในกลุ่มนี้จะเกิดขึ้นอย่างไม่สมบูรณ์และกลไกในการย่อยยังไม่เข้าใจกันดีนัก

Soft-rot fungi

รากกลุ่มนี้หมายถึงราที่ย่อยสลายเซลลูโลสและเอมิเซลลูโลสในเนื้อไม้ได้ สำหรับความสามารถในการย่อยสลายลิกนินรวมทั้งกลไกที่เกี่ยวข้องยังมีการศึกษา กันน้อยมากแต่มีรายงานว่าอัตราการย่อยสลายลิกนินโดยรากกลุ่มนี้จะต่ำมาก ตัวอย่างของราพวก soft-rot ได้แก่ราในชั้น Ascomycetes และ Fungi Imperfecti สกุลต่างๆ เช่น *Chaetomium*, *Cephalosporium*, *Graphium*, *Monodictys* และ *Paecilomyces* เป็นต้น

2.3 ชีวเคมีของการย่อยสลายลิกลินโดยเชื้อรา

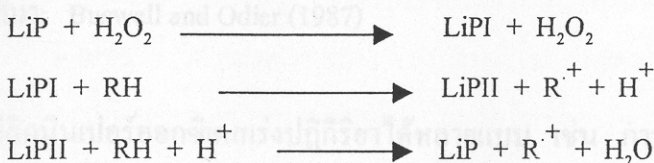
ก. เอนไซม์ที่เกี่ยวข้อง

การย่อยสลายลิกลินโดยเอนไซม์จากเชื้อราอาจเกิดโดยกลไกหลายๆ แบบร่วมกัน เช่น การทำให้วงแหวนอะโรมาติกแตกออกโดยการเติมออกซิเจน (oxidative fission) หรือเกิดออกซิเดชันที่หมู่แอลฟ่าไฮดรอกซิล (α -hydroxyl) การเติมน้ำที่ส่วนแอลฟาร์บอนิล (α -carbonyl) และการตัดพันธะแอริลอีเทอร์ (aryl ether) เป็นต้น เอนไซม์ที่เร่งปฏิกิริยาการสลายลิกลินประกอบด้วยเอนไซม์หลายชนิดเรียกรวมว่า ligninolytic enzymes ซึ่งประกอบด้วย เอนไซม์ประเภทเปอร์ออกซิเดส (peroxidases) และออกซิเดส (oxidases) หลายชนิด ที่สำคัญได้แก่ เอนไซม์ลิกลินเปอร์ออกซิเดส (lignin peroxidases) แลคเคส (laccases) แมลงกานีสเปอร์ ออกซิเดส (manganese peroxidases) และเอนไซม์ออกซิเดชนิดที่ให้ไฮโดรเจนเปอร์ออกไซด์ (H_2O_2 -producing oxidases) เป็นต้น เอนไซม์เหล่านี้เป็นเอนไซม์ชนิดที่ผลิตและปล่อยออกซานออกเซลล์ (extracellular enzyme) ที่เชื่อราผลิตขึ้นและปล่อยออกมาย่อยสลายลิกลินซึ่งมีโมเลกุลขนาดใหญ่ไม่สามารถผ่านเข้าเซลล์ได้

1. ลิกลินเปอร์ออกซิเดส

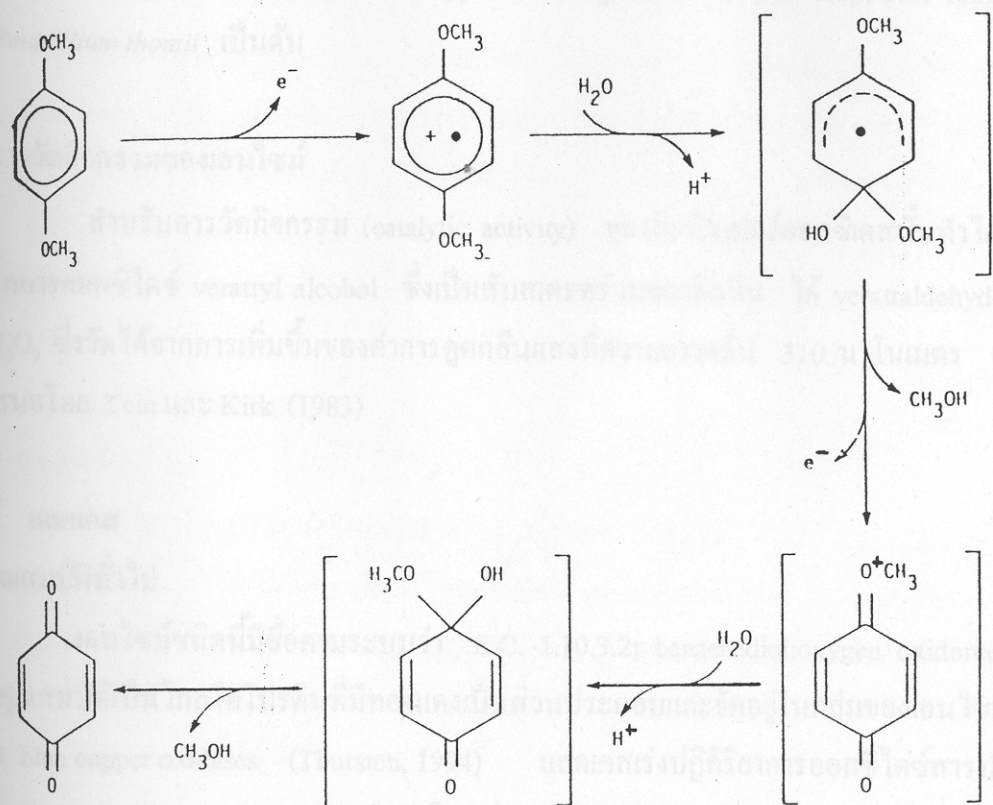
ลักษณะทั่วไป

ลิกลินเปอร์ออกซิเดส (LiP) หรือมีชื่อตามระบบว่า diarylpropane:oxygen, hydrogen peroxide oxidoreductases E.C. 1.11.1.14; พบครั้งแรกในราษฎร *Phanerochaete chrysosporium* (Glenn, 1983; Tien and Kirk, 1983) กลไกการเร่งปฏิกิริยาของเอนไซม์ชนิดนี้เป็นดังนี้คือ เอนไซม์จะทำปฏิกิริยากับ H_2O_2 ไดอนุญลบวก (cation radical) ของ porphyrin π เรียก LiPI ซึ่งจะถูกรีดิวซ์โดยมีการถ่ายเทอเลคตรอน 1 ตัว ได้สารตัวกลาง (intermediate) คือ LiPII ซึ่งในปฏิกิริยานี้จะเกิดการออกซิไดซ์สารประกอบอะโรมาติก เช่น veratryl alcohol ไดอนุญลบวกแอริล (aryl radicals) ปฏิกิริยาทั้งหมดที่เกิดขึ้นมีดังนี้:



การเร่งปฏิกิริยาออกซิเดชันแบบถ่ายเทอเลคตรอนเพียง 1 ตัว (one-electron oxidation) ของหมู่อะโรมาติก (ภาพที่ 3) โดยเอนไซม์ชนิดนี้มีความสำคัญมาก เนื่องจากทำให้ไดอนุญลบวกซึ่งสามารถถูกออกซิไดซ์ต่อไปได้เมื่อมีออกซิเจน ซึ่งระบบย่อยสลายลิกลินดังกล่าวมีลักษณะไม่จำเพาะเฉพาะเจาะจง ทำให้สามารถนำเอนไซม์กลุ่มนี้ไปใช้ออกซิไดซ์สารประกอบ

อะโรมาติกอื่นๆ ได้อีกมากมาย ตัวอย่างเช่นสารประกอบ polycyclic aromatic hydrocarbons, polychlorinated phenol, dioxins และ azo dye เป็นต้น



ภาพที่ 3 การออกซิเดชันแบบถ่ายเทอเลคตรอนเพียง 1 ตัวจากวงแหวนอะโรมาติก

โดยกิจกรรมของเอนไซม์เปอร์ออกซิเดส

ที่มา: Buswell and Odier (1987)

โดยทั่วไปลิกนินเปอร์ออกซิเดสเร่งปฏิกิริยาได้หลายแบบ เช่น การแตกของ $\text{C}\alpha-\text{C}\beta$ (ภาพที่ 3) การออกซิโคลซ์ $\text{C}\alpha$ การแตกของพันธะระหว่างอัลกิลและแอริล (alkyl-aryl bond) และการแตกของวงแหวนอะโรมาติก การดึงหมุ่นทรอกซิล (demethylation) การดึงหมุ่นเมทธิล (demethylation) การเติมหมุ่นไฮดรอกซิล (hydroxylation) ตลอดจนการต่อสายโพลิเมอร์ (polymerization)

ลิกนินเปอร์ออกซิเดสที่พบແຕ່ວໃນปັງຈຸບັນມີນາກວ່າ 21 ຊົນດີ ແຕ່ລະຫຼິດຈະມີຄວາມຄອງຕົວ (stability) ແລະລັກມະນະໃນເຮັດປັກປົກກົມ (catalytic reaction) ແຕກຕ່າງກັນ ຮາທີ່ພຶດສິນ
ລິກນິນແປອຣ້ອອກຊີເດສໄກ໌ ນອກຈາກ *P. chrysosporium* ແລ້ວຍັງພບໃນ Basidiomycetes ອື່ນໆ
ອີກຫາລາຍໜົດ ເຊັ່ນ *Phlebia radiata*, *Coriolus versicolor*, *Coriolus hirsutus*, *Plurotus*
ostreatus, *Bjerkandera adusta*, *Polyporus ostreiformis* ລວມທີ່ Imperfect fungi ເຊັ່ນ
Penicillium thomii ເປັນຕົ້ນ

ກາຮວດກິຈກຽມຂອງເອນໄໝໜີ

ສໍາຫຼັບກາຮວດກິຈກຽມ (catalytic activity) ຂອງລິກນິນແປອຣ້ອອກຊີເດສນີ້ນໍາໄດ້ໂດຍກາຮວດກາຮອກຊີໄດ້ *veratryl alcohol* ຜຶ່ງເປັນສັບສເຕຣທ່ວມຂອງລິກນິນ ໄດ້ *veratraldehyde* ເມື່ອນີ H_2O_2 ຜຶ່ງວັດໄດ້ຈາກການເພີ່ມເຂົ້ນຂອງຄ່າກາຮູດກລື່ນແສງທີ່ຄວາມຍາວກລື່ນ 310 ນາໂນເມຕຣ ຕາມວິທີທີ່ເສັນໂໂດຍ Tein ແລະ Kirk (1983)

2. ແລຄເຄສ

ຄຸນສົມບັດທ້ວ່າໄປ

ເອນໄໝໜີໜົດນີ້ມີຂໍ້ຕາມຮບບວ່າ E.C. 1.10.3.2; benzenediol:oxygen oxidoreductases ມີຄຸນສົມບັດເປັນ ໄກລໂຄໂປຣຕິນທີ່ມີທອງແດງເປັນສ່ວນປະກອບແລະຈັດຍູ້ໃນກລຸ່ມຂອງເອນໄໝໜີທີ່ເຮັກວ່າ blue copper oxidases (Thurston, 1994) ແລຄເຄສເຮັດປັກປົກກົມ (phenolic compounds) ຫາຍໜົດ ເຊັ່ນ catechol, hydroquinone, 2,6-dimethoxyphenol ແລະ syringaldazine ແບບທີ່ຖ່າຍເທົ່ານີ້ 1 ອີເລັດຕຣອນ (one-electron oxidation) ໄດ້ສາງຕົວກາງກັບອຸນຸມຸລີຟິນອົກຊີອົສະ (free phenoxy radicals) ນອກຈາກນີ້ ABTS (2,2'-azinobis-3-ethylbenzthiazoline-6-sulphonic acid) ຜຶ່ງເປັນສັບສເຕຣທສັງຄරະຫຼ຾ຂອງແລຄເຄສຍັງທ່ານ້າທີ່ເປັນສັບສເຕຣທ່ວມ (co-substrate) ທີ່ອີເລັດຕຣອນ ໃນປັກປົກກົມ (Bourbonnais ແລະ Paice, 1990) ແລຄເຄສເຮັດປັກປົກໄດ້ຫາຍ່າຍແບບເຊັ່ນເດືອກກັນ ຕົວອ່າງເຊັ່ນ ກາຮແຕກອອກຮະຫວ່າງໜູ້ອັດຄິດກັບໜູ້ແອຣີ ກາຮແຕກຮ່າງ $C\alpha$ ກັບ $C\beta$ ແລະກາຮແຕກຂອງໜູ້ຟິນອົດ 2 ໜູ້ ນອກຈາກນີ້ຍັງເຮັດປັກປົກກົມ (depolymerization) ອີກດ້ວຍ ໂດຍອົດຈນກາຮຕ່ອສາຍໂພລິມອ້ຣ ແລະກາຮຕ່ອສາຍໂພລິມອ້ຣ (depolymerization) ອີກດ້ວຍ

ເຊື້ອຣາທີ່ມີຮາຍງານວ່າພຶດສິນແລຄເຄສໄດ້ມີຫາລາຍໜົດ ທີ່ສໍາຄັງກືອາໄນ້ນີ້ Basidiomycetes ສຸກລົດຕ່າງໆ ເຊັ່ນ *Agaricus*, *Bjerkandera*, *Coprinus*, *Fomes*, *Ganoderma*, *Phanerocheate*, *Phlebia*, *Plurotus*, *Polyporus*, ແລະ *Trametes* ເປັນຕົ້ນ ນອກຈາກນີ້ຍັງພບແລຄເຄສໃນຮາ້ນ Ascomycetes ຫາຍສຸກລົດ ເຊັ່ນ *Neurospora*, *Podospora* ແລະ *Xylaria* ເປັນຕົ້ນ ສໍາຫຼັບຮາ

พาก Imperfect ที่ผลิตแลคเคสได้ ได้แก่ *Aspergillus*, *Botytes*, *Penicillium* และ *Trichoderma* เป็นต้น

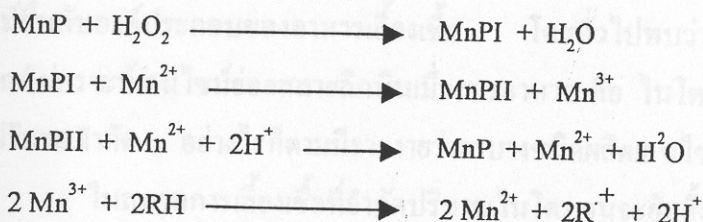
การวัดกิจกรรมของเอนไซม์

การวัดกิจกรรมของแลคเคสอาศัยหลักการออกซิไดซ์สับสเตรทของเอนไซม์ชนิดนี้หลายชนิด เช่น syringaldazine, phenol red รวมทั้ง ABTS (2,2'-azino-bis(3-ethylbenzthiazoline-6-sulphonic acid)) เป็นต้น สำหรับวิธีที่เสนอโดย Bollag และ Leonowicz (1984) นั้นจะใช้ syringaldazine เป็นสับสเตรท และวัดค่าการดูดกลืนแสงที่ 525 นาโนเมตรที่เปลี่ยนแปลงเพื่อคำนวณกิจกรรมของเอนไซม์ สำหรับวิธีวัดกิจกรรมที่ใช้ ABTS เป็นสับสเตรทนั้นจะวัดการออกซิไดซ์ ABTS โดยเอนไซม์ที่ความยาวคลื่น 420 นาโนเมตร (Barbosa *et al.*, 1996)

3. แมงกานีสเปอร์ออกซิเดส

คุณสมบัติทั่วไป

แมงกานีสเปอร์ออกซิเดส (MnP) มีชื่อตามระบบว่า E.C. 1.11.1.13; Mn(II):H₂O₂ oxidoreductase พบรังแรกรในรา *Phanerochaete chrysosporium* (Kuwahara *et al.*, 1984) ปัจจุบันพบໄอโซเอนไซม์ของ MnP ถ้าหาก MnP เป็นไกลโคโปรตีนที่เร่งปฏิกิริยาการออกซิไดซ์ชนิดหนึ่งอิเลคตรอนของสารประกอบฟีนอลและสารประกอบที่ไม่ใช้ฟีนอล เมื่อมี Mn(II) ดังสมการต่อไปนี้



จากสมการจะเห็นว่าปฏิกิริยาเริ่มต้นเกิดระหว่าง MnP กับ H₂O₂ ได้สารตัวกลางคือ MnPI ซึ่งจะออกซิไดซ์ Mn(II) ให้ Mn(III) และ Mn(III) จะถูกทำให้คงตัวโดยการเกิดสารประกอบเชิงซ้อนกับกรดอินทรีย์ เช่น แลคเตต, มาโนเนต หรือ ออกซาเลท และจะออกซิไดซ์สารประกอบของโรมาติก ไดอนุมูลฟีนอกซ์ หรืออนุมูลบวกแอกซิล

ราที่ผลิต MnP ได้ ได้แก่ basidiomycetes หลายชนิด เช่น *P. chrysosporium*, *Phlebia radiata*, *Coriolus versicolor*, *Lentinula edodes*, *Pleurotus ostreatus*, *Bjerkandera adusta*, *Ganoderma australis* และ *Polyporus ostreiformis* เป็นต้น

การวัดกิจกรรมของเอนไซม์

การวัดกิจกรรมของ MnP อาศัยหลักการวัดการออกซิไดซ์ Mn^{2+} เป็น Mn^{3+} เมื่อมี guaiacol และ H_2O_2 ที่ความยาวคลื่น 465 nm ตามวิธีที่เสนอโดย Piszczyński และคณะ (1988) แต่เนื่องจาก guaiacol ก็เป็นสับสเตรทของแอลกอฮอล์ด้วย ดังนั้นจึงต้องนำกิจกรรมทั้งหมดหักออกจากกิจกรรมเมื่อไม่มี H_2O_2 และกิจกรรมเมื่อไม่มี Mn^{2+} ซึ่งจะได้ค่ากิจกรรมของแอลกอฮอล์

3. ออกซิเดตที่ผลิต H_2O_2

คุณสมบัติโดยทั่วไป

เอนไซม์กลุ่มนี้ได้แก่พวกที่ทำให้เกิด H_2O_2 ในปฏิกิริยา มีทั้งประเภทที่สร้างแล้วปล่อยออกมานอกเซลล์และประเภทที่ไม่ปล่อยออกมานอกเซลล์ ตัวอย่างของเอนไซม์ออกซิเดตประเภทที่ผลิตและปล่อยออกมานอกเซลล์ ได้แก่ แอโรลแอลกอฮอล์ออกซิเดตที่มี FAD (FAD-containing aryl alcohol oxidase) พบรในรา *P. chrysosporium* (Kersten and Kirk, 1987) นอกจากนี้ยังพบเอนไซม์ที่ผลิตและไม่ถูกปล่อยออกมานอกเซลล์ เช่น glucose oxidase, methyl oxidase และ acyl CoA oxidase เป็นต้น ในราชนิดนี้ด้วย

4. การควบคุมการสังเคราะห์เอนไซม์

ระบบเอนไซม์ย่อยสลายลิกนินมีการศึกษา กันมากในรา *P. chrysosporium* พบร่วมกับการผลิตเอนไซม์ขึ้นกับองค์ประกอบของอาหารเดี่ยวเชื้อ โดยทั่วไปพบร่วมราชนิดนี้รวมทั้งราอื่นๆ ส่วนใหญ่มักสังเคราะห์เอนไซม์ย่อยสลายลิกนินเมื่อสารอาหาร คือ ในโตรเจน คาร์บอน หรือ กำมะถันมีปริมาณจำกัด อย่างไรก็ตามมีรายงานว่าบางชนิดสามารถเอนไซม์ได้ในสภาพไม่จำกัด ในโตรเจน ในสภาพการเดี่ยวนี้ที่จำกัดปริมาณในโตรเจนจะขับยั้งการสังเคราะห์เอนไซม์ MnP แต่เอนไซม์แอลกอฮอล์จะถูกสังเคราะห์สูงสุด ออกซิเจนมีผลต่อการสังเคราะห์เอนไซม์โดยการสังเคราะห์ลิกนินเปอร์ออกซิเดตใน *P. chrysosporium* ถูกยับยั้งเมื่อมีออกซิเจนจำกัดในอาหารเดี่ยวเชื้อ (Kirk et al., 1978) นอกจากนี้ยังมีรายงานว่าการสังเคราะห์ MnP ถูกควบคุมโดย Mn และการมีกรดอินทรีย์ สารประกอบบางชนิดสามารถหนีyan นำการสังเคราะห์เอนไซม์ย่อยสลายลิกนินได้ ตัวอย่างเช่น gallic acid และ 2,5-xylidine เหล่านี้นำการสังเคราะห์แอลกอฮอล์ของ *Botrytis cinerea*, *Neurospora crassa* และ *Trametes versicolor* (Gigi et al., 1981; Bollag and Leonowicz, 1984) นอกจากนี้แอลกอฮอล์หนีyan นำการสังเคราะห์ใน *Phlebia radiata* เมื่อมี veratry alcohol (Kantelin et al., 1989) เป็นต้น

2.4 การตรวจวัดการย่อยสลายลิกลินโดยใช้สีโพลิเมอริก

โดยทั่วไปการคัดเลือกหากิจกรรมการย่อยสลายลิกลินเนื่องจากเอนไซม์ย่อยสลายลิกลินของเชื้อราทำได้โดยเลี้ยงเชื้อด้วยสับสเตรทที่มีลิกลินหรือลิกลินที่ติดตากา C¹⁴ ในโนมาเกลุต และวัสดุสารตัวกลาง (intermediates) หรือผลผลิตสุดท้าย (end products) ที่เกิดขึ้น อย่างไรก็ตามวิธีนี้ใช้เวลามากและมีความยุ่งยาก นอกจากนั้นยังมีปัญหาเรื่องสับสเตรทซึ่งไม่มีจำหน่ายเป็นการค้า จึงต้องสังเคราะห์ขึ้นใช้เอง ดังนั้นวิธีนี้จึงไม่สะดวกในการใช้คัดเลือกจุลินทรีย์จำนวนมากๆ ต่ำมาได้มีการพัฒนาวิธีวัดกิจกรรมย่อยสลายลิกลินที่ง่ายและสะดวกมากขึ้น วิธีดังกล่าวใช้สีข้อมะกาลูกอล์ฟ (polymeric dyes) ซึ่งมีโครงสร้างประกอบด้วยกลุ่มแหนวนอะโรมาติก เช่นเดียว กับลิกลินเป็นสับสเตรทของเอนไซม์ย่อยสลายลิกลินแทน ซึ่งสีเหล่านี้ได้แก่ สี Poly B เช่น Poly B-411, สี Poly R เช่น Poly R-481 และ Poly R-478 และสี Poly Y เช่น Poly Y-606 เป็นต้น วิธีการวัดโดยใช้สีโพลิเมอริกนี้มีข้อดีหลายประการ คือเป็นสับสเตรทที่มีราคาไม่แพง และมีการผลิตเพื่อจำหน่ายในรูปแบบรีสอร์ฟ นอกจากนั้นสีเหล่านี้ยังมีความคงตัวและละลายได้ สมบูรณ์ มีความเป็นพิษต่อจุลินทรีย์ต่ำ และเนื่องจากสีโพลิเมอริกมีขนาดโนมาเกลุตใหญ่จึงไม่ถูกนำเข้าเซลล์ ดังนั้นวิธีนี้จึงเป็นการวัดกิจกรรมที่เกิดขึ้นภายนอกเซลล์เนื่องจากเอนไซม์ชนิดปล่อยออกนอกเซลล์ เช่นเดียวกับกรณีของลิกลิน กล่าวโดยรวมแล้ว วิธีวัดการย่อยสลายสีโพลิเมอริกที่พัฒนาขึ้นซึ่งใช้วิธีวัดทางสเปกโตรโฟโตเมตริกเป็นวิธีที่ง่าย รวดเร็ว และสามารถหาปริมาณได้ นอกจากนั้นยังมีรายงานว่าการย่อยสลายสีข้อมะเหล่านี้สอดคล้องกับการเริ่มต้นของกิจกรรมย่อยสลายลิกลินของเอนไซม์อีกด้วย (Gold et al., 1988)

วิธีการวัดการยางลงของสี

การวัดการยางลงของสี เนื่องจากถูกย่อยสลายด้วยเอนไซม์ (decolorization assays) ทำได้โดยเติมสารละลายสีลงไปในการเลี้ยงเชื้อเหลวให้มีความเข้มข้น 0.01-0.02% จากนั้นจึงวัดการลดลงของค่าการดูดกลืนแสงที่ความยาวคลื่นของการดูดกลืนแสงสูงสุดที่จำเพาะสำหรับสีแต่ละชนิด ในบางกรณีมีการดูดกลืนแสงสูงสุดที่ความยาวคลื่น 2 ค่าจะใช้ค่าอัตราส่วนที่ลดลงของค่าดูดกลืนแสงที่ความยาวคลื่นนั้นๆ เป็นเกณฑ์ ตัวอย่างเช่น ถ้าใช้สี Poly R-481 ให้วัดที่ความยาวคลื่น 513 และ 362 นาโนเมตร ในขณะที่ถ้าใช้สี Poly R-478 ให้วัดที่ความยาวคลื่น 520 และ 350 นาโนเมตร เป็นต้น นอกจากนั้นยังอาจตรวจสอบการย่อยสลายสีบนงานอาหาร แข็งที่ผสมสีก็ได้ ถ้าเกิดการย่อยสลายจะเกิดวงใส (clear halo) ได้โคโลนี แต่วิธีนี้ไม่สามารถหาปริมาณการย่อยสลายได้

2.5 การประยุกต์ใช้เชื้อร้ายอยสลายลิกนิน (Buswell and Odier, 1987; Orth and Tien, 1995; Heinzkill and Messner, 1997)

จากที่กล่าวมาแล้วจะเห็นได้ว่าเชื้อรากคุณย่อยสลายลิกนินสามารถผลิตเอนไซม์ได้หลายชนิด ที่สำคัญคือ เอนไซม์ที่เร่งปฏิกิริยาการแตกของวงแหวนอะโรมาติก นอกจากนั้นการเร่งปฏิกิริยาของเอนไซม์ประเภทนี้ยังมีลักษณะแบบไม่จำเพาะเจาะจง ดังนั้นจึงสามารถเกิดปฏิกิริยากับโมเลกุลได้หลากหลายซึ่งรวมทั้งสารประกอบสังเคราะห์ที่ย่อยสลายได้ยากและเป็นมลพิษสำคัญของลิ่งแวดล้อม ได้มีการศึกษาเพื่อนำเชื้อร้ายอยสลายลิกนินและเอนไซม์จากเชื้อรากคุณนี้มาใช้ประโยชน์ในด้านต่างๆ ตัวอย่างเช่น การฟอกขาวเยื่อไม้เพื่อใช้ผลิตกระดาษ การบำบัดน้ำทึบที่มีสีสังเคราะห์ปนเปื้อน ตลอดจนการย่อยสลายสารประกอบเคมีที่มีพิษทางชีวะ เช่น สารประกอบพวง polycyclic aromatic hydrocarbons (PAHs) และยาฆ่าแมลง เป็นต้น

2.5.1 การผลิตเยื่อกระดาษและการฟอกขาวเยื่อกระดาษ

ได้มีการทดลองใช้เชื้อรากคุณและออกซิเดทีฟเอนไซม์จากเชื้อรากคุณนี้บางชนิด เช่น *Trametes versicolor* (Bourbonnais et al., 1995) และ *Phanerocheate chrysosporium* (Michel et al., 1991) เพื่อย่อยสลายลิกนินที่ปนอยู่ในเนื้อไม้ในกระบวนการผลิตเยื่อกระดาษแทนการใช้ด่างและความร้อนซึ่งไม่ป้องกันต่อสิ่งแวดล้อม ซึ่งเรียกกระบวนการนี้ว่า “biopulping” นอกจากนั้นยังมีการใช้เชื้อร้ายอยสลายลิกนินที่เหลืออยู่ในเยื่อไม้ที่ได้จากการกระบวนการที่ใช้ด่างเพื่อฟอกสีเยื่อไม้ให้ขาวขึ้นแทนการใช้สารฟอกขาว ซึ่งเรียกว่ากระบวนการ “biobleaching” กระบวนการชีวภาพที่อาศัยเชื้อรากคุณล่วงผ่านมีข้อดีในแง่การลดค่าใช้จ่ายค้านพลังงานไฟฟ้าและสารเคมีที่ใช้ในกระบวนการ นอกจากนั้น สารประกอบมีพิษที่เกิดจากกระบวนการ เช่น สารประกอบอะโรมาติกที่มีคลอรีนซึ่งเป็นอนุพันธ์ของลิกนินและมีความทนทานต่อการย่อยสลายในสภาวะการบำบัดปกติอาจปนเปื้อนลงสูงสุดถึงแวดล้อมได้อีกด้วย นอกจากนั้น การที่ลิกนินถูกย่อยสลายโดยเชื้อรากคุณยังช่วยทำให้ความเป็นพิษของน้ำทึบจากการลดลงอีกด้วย อย่างไรก็ตามการใช้เชื้อรากคุณและเอนไซม์ของเชื้อรากคุณมีปัญหารือถึงการที่เชื้อรากคุณไม่สามารถใช้ลิกนินโดยตรงได้ต่อนเรื่องต้น นอกจากนั้นการใช้เอนไซม์ยังอาจมีปัญหารือถึงการควบคุมการทำงานของเอนไซม์ รวมทั้งเตือนไขเซลลูโลสที่ได้อาจมีความแข็งแรงลดลง

2.5.2 การบำบัดน้ำเสียและการฟื้นฟูสภาพทางชีวภาพ

ดังที่กล่าวมาแล้วว่าเอนไซม์ย่อยสลายลิกนินทำงานแบบไม่จำเพาะเจาะจงต่อโครงสร้างของลิกนินดังที่ได้กล่าวมาแล้ว ดังนั้นจึงได้มีการทดลองนำเชื้อร้ายอยสลายลิกนินและเอนไซม์จากเชื้อรากคุณนี้มาใช้ย่อยสลายสารเคมีที่ย่อยสลายได้ยากหลายชนิดซึ่งรวมทั้ง สีเอโตร และสี

ข้อมูลประกอบที่น้ำ ยาฆ่าแมลง เช่น DDT (1,1-bis(4-chlorophenyl)-2,2,2-trichloroethane), คลินเดน (2,4,5,2',4',5'-hexachlorobiphenyl) และ PCB (polychlorinated biphenyl) รวมทั้งใช้ย่อยสลายสารประกอบฟีนอล และ PAHs เป็นต้น (Ollika *et al.*, 1993; Spadaro *et al.*, 1992; Paszczynski *et al.*, 1992) นอกจากนี้ ยังมีรายงานการใช้เชื้อรากขาวหลายชนิดช่วยกำจัดสิ่กสำลักที่เกิดจากลิกนินและอนุพันธ์ของลิกนินที่ปนเปื้อนในน้ำทั้งจากการกระบวนการผลิตเยื่อกระดาษอีกด้วย (Livernoche *et al.*, 1983; Livernoche *et al.*, 1982)

2.5.3 การผลิตสารให้กับลินรถ

มีการทดลองใช้เอนไซม์จากการข้าวบางนิดเป็นคatalyst ชีวภาพ (biocatalyst) เพื่อผลิตสารต่างๆ ที่มีประโยชน์รวมทั้งสารให้กลิ่นรส ตัวอย่างเช่น การผลิต vanillin ซึ่งเป็นสารแต่งกลิ่นจากโนโนเมอร์หรือ ไดเมอร์ของลิกนิน เช่น coniferyl alcohol, eugenol, feruvic acid เป็นต้น โดยอาศัยลิกนินเป็นร่องรอยชีวเดสเป็นตัวเร่งปฏิกิริยา ซึ่งการผลิต vanillin โดยวิธีนี้ น่าสนใจเนื่องจากผลิตภัณฑ์ที่ได้จัดเป็นผลิตภัณฑ์ธรรมชาติซึ่งมีความปลอดภัยและเป็นที่ยอมรับมากกว่าที่ได้จากการกระบวนการสังเคราะห์ทางเคมี

2.5.4 การเพิ่มมูลค่าวัสดุเหลือทิ้งทางการเกษตร

ประเทศไทยมีวัสดุเหลือทิ้งทางการเกษตรมากมาย เช่น ฟางข้าว หญ้า และเศษไม้เป็นต้น ซึ่งองค์ประกอบสำคัญของวัสดุเหล่านี้ที่สามารถนำมาใช้ประโยชน์ได้ ได้แก่ การนำไปไชเครต เช่น เซลลูโลสและเอมิเซลลูโลส โดยนำมาเปลี่ยนให้成ร์ไชเครตอยู่ในรูปที่ถูกนำไปใช้เป็นอาหารสัตว์ได้ง่ายขึ้น โดยอาศัยกิจกรรมของเอนไซม์จากจุลินทรีย์ อย่าง ไรก็ตาม ลิกนินที่มีอยู่ในวัสดุเหล่านี้จะจำกัดการไชเครตได้โดยเอนไซม์ ดังนั้น จึงต้องมีขั้นตอนการกำจัดลิกนินที่ปนอยู่ออกก่อน โดยอาจใช้กระบวนการทางกายภาพ การบด การใช้ความร้อน หรือใช้วิธีทางเคมี เช่น การไชเครตด้วยกรดหรือด่าง กำจัดลิกนินโดยกิจกรรมของราที่ย่อยลายลิกนิน เช่นเดียวกับกระบวนการ biopulping นับเป็นอีกแนวทางหนึ่งที่เป็นไปได้ในการกำจัดลิกนิน ซึ่งได้ผลผลอยได้คือทำให้ปริมาณโปรตีนและสารไชเครตของวัสดุเหลือทิ้งเพิ่มขึ้นซึ่งมาจากการชีวภาพของเชื้อรากซึ่งเป็นประโยชน์ต่อการเดี้ยงสัตว์ นอกจากการเปลี่ยนรูปวัสดุเหลือทิ้งที่เป็นของแข็งแล้วยังมีการทดลองเลี้ยงเชื้อรากในน้ำทิ้งจากการผลิตเยื่อกระดาษซึ่งนอกจากจะได้ผลผลิตเป็นมวลชีวภาพแล้วยังสามารถลดค่า BOD และ COD ของน้ำทิ้งลงได้ด้วย

2.6 รายงานยวิจัยที่เกี่ยวข้อง

Glenn และ Gold (1983) ศึกษาเปรียบเทียบการใช้สีโพลีเมอริก 3 ชนิด ได้แก่ Poly B-411, Poly R-481 และ Poly Y-606 เพื่อเป็นทางเลือกอีกทางหนึ่งในการตรวจวัดกิจกรรมการย่อยสลายลิกนินของรา *Phanerocheate chrysosporium* พบว่าการย่อยสลายสีโดยรา มีลักษณะหลายประการที่สอดคล้องกับการย่อยสลายลิกนิน กล่าวคือการย่อยสลายสีเกิดหลังเชื้อเจริญเติบโตแล้ว ถูกยับยั้งเมื่อมีในโตรเจนปริมาณสูงในอาหารเดี้ยงเชื้อและถูกกระตุ้นด้วยออกซิเจน นอกจากนั้นสารที่ยับยั้งการย่อยสลายสีได้ด้วย เช่น thiourea, azide และ 4'-O-methylisoeugenol ยังสามารถยับยั้งการย่อยสลายสีได้ด้วย เช่นเดียวกัน และพบว่าสายพันธุ์กลาญของ *P. chrysosporium* ที่ไม่มีเอนไซม์ฟีโนออกอชีเดสและกิจกรรมย่อยสลายลิกนินไม่สามารถย่อยสลายสีโพลีเมอริกพวกนี้ได้ ซึ่งผลทั้งหมดทำให้สรุปได้ว่าการย่อยสลายสีโพลีเมอริกทั้งสามชนิดของเชื้อราดังกล่าวเกี่ยวข้องกับกิจกรรมการย่อยสลายลิกนิน

Bollag และ Leonowicz (1984) ทำการทดลองแผลคเคสในรา basidiomycetes, ascomycetes และ deuteromycetes หลายชนิด เมื่อเพาะเลี้ยงในอาหารเหลวที่มีกลูโคสเป็นแหล่งคาร์บอน ในสภาพที่ไม่มีการเบ่า และเติม 2,5-xylidine ลงในในเชื้อที่เจริญเติบโตแล้ว พบว่า การผลิตแผลคเคสจะเพิ่มขึ้นในราบางชนิด เช่น *Fomes annosus*, *Pholiota mulabilis*, *Plurotus ostreatus* และ *Trametes versicolor*

Gold และ คณะ (1988) ศึกษาการย่อยสลายสีโพลีเมอริก 3 ชนิด ได้แก่ Poly B-411, Poly R-481 และ Poly Y-606 โดยรา *Phanerocheate chrysosporium* เมื่อเลี้ยงในอาหารเหลวสูตรจำกัดในโตรเจน (nitrogen-limited medium) ที่ประกอบด้วยกลูโคส 2%, diammonium tartrate 1.2 mM ใน sodium 2,2-dimethylsuccinate buffer (pH 4.5), 20 mM และสารละลายเกลือแร่ พบว่าเชื้อรานิรเมย์ย่อยสลายสี Poly B และ Poly R ในวันที่ 3 ของการเดี้ยงเชื้อ โดยในกรณีของสี Poly B อัตราการย่อยสลายสีจะสูงสุดในวันที่ 8 จากนั้นจะลดลง ในขณะที่การย่อยสลายสี Poly R จะยังคงมีต่อไปจนถึงวันที่ 11 สำหรับสี Poly Y นั้นถูกย่อยสลายได้ช้าและตรวจไม่พบกิจกรรมการย่อยสลายเมื่อไม่มีการให้ออกซิเจนบริสุทธิ์ในขณะเดี้ยงเชื้อ

Walder และ คณะ (1988) เปรียบเทียบการย่อยสลายลิกนินของรา white-rot 6 ชนิด ได้แก่ *Chrysosporium pruiniosum*, *Coriolus versicolor*, *Plurotus ostreatus*, *Bjerkandera adustus*, *Trametes cingulata* และ *Fomes lignosus* กับของ *P. chrysosporium* พบว่ามีลักษณะคล้ายคลึงกัน กล่าวคือ การผลิตร่อนเอนไซม์ย่อยสลายลิกนินของ ราบางสายพันธุ์จะถูกกระตุ้นด้วย veratryl

alcohol และพบว่าการย่อยสลายลิกนินเกิดในสภาวะที่ไม่มีการเขย่าได้เร็วกว่าในสภาวะที่มีการเขย่าในรูบากชนิด ในขณะที่ผลการทดลองเป็นในทางตรงกันข้ามในราชนิคอ่น นอกจากนั้นยังพบว่าการจางลงของสี remazol blue ที่เดิมคงไว้ในขณะเดียวกันจะแสดงถึงการเริ่มเกิดกิจกรรมย่อยสลายลิกนินของราบท่านี้ได้

Field และคณะ (1993) รายงานการแยกจากไม้ผุและดินจำนวน 1000 ตัวอย่างที่เก็บจากประเทศเนเธอร์แลนด์บนอาหารเดียงซื้อเบ็งที่มีผงลิกโนเซลลูโลส guaiacol และ benomyl เป็นส่วนผสม สามารถแยกเชื้อรำบริสุทธิ์ได้ทั้งต้น 127 ไอโซเลท และเมื่อนำรากหั่นมาทดสอบการย่อยสลายสี Poly R-478 พบรากที่ย่อยได้จำนวน 67 ไอโซเลท และนำรากที่ย่อยสลายสีได้เร็ว จำนวน 6 ไอโซเลทมาทดสอบการย่อยสลายสารประกอบ polycyclic aromatic hydrocarbons (PAHs) บางชนิดในอาหารเหลวสูตรแร่ธาตุที่มีกูลูโคส 10 กรัมต่อลิตรและมี PAH 10 มิลลิกรัมต่อลิตร สามารถคัดเลือกสายพันธุ์รากที่ย่อยสลาย PAH ได้ดีที่สุดคือ *Bjerkandera* sp.BOS55 ซึ่งกำจัด anthracene และ benzo[a]pyrene ได้ร้อยละ 99.2 และ 83.1 ตามลำดับภายในเวลา 28 วัน

Ollikka และคณะ (1993) ศึกษาการย่อยสลายสีย้อมประเทกต่างๆ ได้แก่ สีเอโซชี สีไตรฟินilmีเซน (triphenyl methane dyes) สีເຫັກທເໂຣໄຊຄລິກ (heterocyclic dyes) และสีໂພດິມອອົກ รวม 10 ชนิด โดยราก *P. chrysosporium* พบรากสีส่วนใหญ่ถูกจางสีลง ไปมากกว่า 75% ของสีเดิมยกเว้นสี Congo red, Poly R-478 และ Poly T-128 นอกจากนั้นยังตรวจสอบการย่อยสลายสีโดยไอโซเลท ใช้มีบริสุทธิ์ของลิกนินเปอร์ออกซิเดต 3 ชนิด พบรากให้ผลใกล้เคียงกับการย่อยสลายโดยใช้เอนไซม์ไม่บริสุทธิ์ แสดงว่าลิกนินเปอร์ออกซิเดตมีบทบาทสำคัญในการย่อยสลายสี และการเริ่มการย่อยสลายไม่เกี่ยวข้องกับเอนไซม์เปอร์ออกซิเดต นอกจากนั้นการย่อยสลายจะเกิดได้เมื่อมี veraryl alcohol ในอาหารเดียงซื้อ

Dey และคณะ (1994) รายงานการศึกษาอนไซม์ชนิดปล่ายออกนอกเซลล์ของรากรากลุ่ม brown rot คือ *Polyporus ostreiformis* หลากหลายชนิดรวมทั้งเอนไซม์ย่อยสลายลิกนิน พบรากชนิดนี้ผลิตเอมกานีสเปอร์ออกซิเดตและลิกโนบิวโรร์ออกซิเดตได้ 40 หน่วยต่อลิตร และ 50 mkal ต่อลิตร ตามลำดับเมื่อเลี้ยงในอาหารเหลวสูตรจำกัดในโตรเจน เมื่อตรวจวัดการย่อยสลายลิกนินจากฟางข้าวพบว่าถูกย่อยสลายได้เร็วที่สุด ร้อยละ 18.6 ของลิกนินหั่นหมด อย่างไรก็ตามราชนิดนี้สามารถย่อยสลายสี congo red ซึ่งเป็นสีทึ่กประจำประเทกเอโซชี (azo dye) เข้มข้นร้อยละ 0.003 ได้เร็วที่สุด ร้อยละ 99 ภายในเวลา 9 วัน

Barbosa และคณะ (1996) รายงานการแยกเชื้อบริสุทธิ์ของราชางไม้ผุ คืนและตอนไม้จากบริเวณต่างๆ ของรัฐอosten เดียวกันได้จำนวน 40 ไอโซเลท และนำมาตรวจวัดกิจกรรมการย่อยสลายลิกนินด้วยวิธีวัดการย่อยสลายสี Poly R-478 โดยเพาะเลี้ยงเชื้อร้านอาหารเหลวสูตรเกลือแร่ที่ประกอบด้วยกลูโคส 1% และสี 0.02% ในสภาพห้องที่มีการเขย่าปืนเวลา 12 วัน ประเมินการย่อยสลายสีจากการลดลงของอัตราส่วนค่าการคุณภาพแสงที่ 513 และ 326 นาโนเมตร ผลการทดลองพบเชื้อร้าน ไอโซเลทที่ย่อยสลายสีได้โดยสายพันธุ์ที่ย่อยสลายได้ดี ได้แก่ *Aspergillus* sp., *Botryosphaeria* sp. และ *Coniochaeta* sp. จากการวัดกิจกรรมของเอนไซม์ย่อยสลายลิกนินพบว่าเชื้อราน้ำทึบ รวมทั้งรา *P. chrysosporium* ซึ่งเป็นสายพันธุ์อ้างอิง ไม่มีกิจกรรมของลิกนินเปอร์ออกซิเดสและแมงกานีสเปอร์ออกซิเดส แต่พบกิจกรรมของแคลคเคสในรา *Botryosphaeria* sp. และ *Coniochaeta* sp. นอกจากนี้ ยังพบว่ากิจกรรมของแคลคเคสของ *Botryosphaeria* sp. ถูกกระตุ้นเมื่อมี veratryl alcohol ในอาหารเลี้ยงเชื้อ

Wunch และคณะ (1997) รายงานการทดสอบความสามารถของราเส้นสาย 17 สายพันธุ์ 13 ชนิด ในการฟอกจากสี Poly R-478 พบว่าการฟอกจากสีโดยรา *Aspergillus* เกิดขึ้นได้ทั้งเมื่อใช้เส้นใยที่มีชีวิตและถูกทำให้ไม่มีชีวิต และคงว่าเป็นการคุณภาพสีไม่ใช่การย่อยสลายสี นอกจากนี้พบว่าเส้นใยของรา *Marasmiellus troyanus*, *Pleurotus sapidus* และ *P. ostreatus* ฟอกจากสีได้ดีแต่การฟอกจากสีโดยสารละลายเอนไซม์เกิดขึ้นได้ดีที่สุดในรา *Laetiporus sulphureus* เมื่อทดสอบการย่อยสลาย benzo[a] pyrene ด้วยเส้นใยและสารละลายเอนไซม์พบว่ามีรา 6 ชนิดที่กำจัด benzo[a]pyrene ได้มากกว่าร้อยละ 40 นอกจากนี้ยังพบว่าการย่อยสลายสารประกอบ PAHs ชนิดนี้มีความสัมพันธ์กับการย่อยสลายสี Poly R-478

Zheng และคณะ (1999) รายงานการแยกรา *Penicillium* สายพันธุ์ใหม่ที่สามารถย่อยสลายสีโพลิเมอริก 2 ชนิด ได้แก่ Poly R-478 และ Poly S-119 โดยเปรียบเทียบการย่อยสลายสีเมื่อเลี้ยงในอาหารเลี้ยงเชื้อ 3 ชนิด ที่มีสีผสมอยู่ 0.01% และวัดการย่อยสลายสีจากการลดลงของค่าการคุณภาพแสงที่ความยาวคลื่น 520 นาโนเมตร ในกรณีของสี Poly R-478 และ 472 นาโนเมตร ในกรณีของสี Poly S-119 ผลการทดลองพบว่า องค์ประกอบของอาหารเลี้ยงเชื้อมีผลต่อการย่อยสลายสีของ *Penicillium* สายพันธุ์นี้

บทที่ 3

วัสดุอุปกรณ์และวิธีทดลอง

3.1 วัสดุอุปกรณ์

ก. เครื่องแก้วและวัสดุ

1. หลอดทดลอง (test tube)
2. ฟลากส์ (flask)
3. จานเพาะเชื้อ (petri dish)
4. ปีเปต (pipette)
5. ปากคีบ (forcept)
6. ใบมีดสำหรับตัด

ข. อาหารเลี้ยงเชื้อ

1. Malt extract agar (DIFCO)
2. Malt extract agar ผสม streptomycin 550 ไมโครกรัม/ลิตร
3. Glucose
4. Diammonium tartrate
5. Dimethyl succinate
6. Poly-R 478 (SIGMA)
7. ABTS (2,2'-azino-bis-(3-ethylbenzthiazoline-6-sulphonic acid) (FLUKA)
8. Hydrogen peroxide
9. Veratryl alcohol
10. Veratraldehyde
11. d-Tartaric acid
12. Citric acid
13. Calcium chloride
14. Potassium dihydrogen phosphate

ค. เครื่องมือ

1. เครื่องวัดการดูดกลืนแสง (spectrophotometer) ชนิดควบคุมอุณหภูมิ ของ Unicam รุ่น UV-500
2. กล้องจุลทรรศน์
3. เครื่องปั่นเหวี่ยง (centrifuge)

ง. เซื้อราอ้างอิง

1. *Sporotrichum pulverulentum* TISTR 3326
2. *Trametes versicolor* TISTR 3224

เชื้อราทั้งสองสายพันธุ์ได้จากหน่วยเก็บรักษาสายพันธุ์จุลินทรีย์ สถาบันวิทยาศาสตร์และเทคโนโลยีแห่งประเทศไทย กรุงเทพฯ ในรูปของผงแห้ง (lyophilized powder) นำมาเพาะเชื้อบนจานอาหาร malt extract agar ตามวิธีที่แจ้งไว้ และเก็บเชื้อบริสุทธิ์ในหลอดดูรุนอึย malt extract agar

3.2 วิธีทดลอง

3.2.1. การเก็บตัวอย่าง

เก็บตัวอย่างเบสิดิโอكار์พ (basidiocarp) ของราที่ขึ้นบนกิ่งไม้หรือต้นไม้ตาย และเศษกิ่งไม้ผุจากแหล่งต่าง ๆ ในประเทศไทย โดยแยกเก็บแต่ละตัวอย่างใส่ถุงพลาสติกที่สะอาด บันทึกรายละเอียดของแต่ละตัวอย่าง รวมทั้งถ่ายภาพไว้ และนำมายังห้องปฏิบัติการโดยเร็วที่สุด

3.2.2 การแยกเชื้อรานบริสุทธิ์

นำแบบสิอิโอคาร์พของราแต่ละชนิดมาแยกเชื้อบริสุทธิ์บนจานอาหารแข็ง ดังนี้

1. ถางเบสิดิโอคาร์พด้วยน้ำกัลล์ปลอดเชื้อหดลายๆ ครั้งจนหมดสิ่งปนเปื้อน วางบนจานเพาะเชื้อที่ปลอดเชื้อ

2. ใช้ใบมีดคมๆ ที่ม่าเชื้อแล้วเฉือนเข้าไปในแบบสิอิโอคาร์พ ใช้ปากคีบที่ม่าเชื้อแล้วคีบส่วนเนื้อกายในเล็กน้อย นำมาร่วงบริเวณกลางผิวอาหารร่วน malt extract agar ที่ผสมยาปฏิชีวนะ streptomycin กดเบาๆ ให้ติดตัวอย่างกับผิวอาหาร

3. บ่มจานเพาะเชื้อที่อุณหภูมิห้อง เมื่อมีเส้นไยเริบให้ใช้ใบมีดปลอดเชื้อตัดส่วนเส้นใบบริเวณปลายที่ไม่มีการปนเปื้อนจากเชื้ออื่น นำไปวางบนจานอาหารจานใหม่ ทำซ้ำหลายๆ ครั้งจนได้เชื้อบริสุทธิ์

สำหรับตัวอย่างเศษไม้ผุให้ใช้ปากคีบปลอดเชือกคีบส่วนเนื้อไม้ที่มีลักษณะเป็นเส้นใยสีขาวนำมาระบบอาหาร malt extract agar นำไปปั่นเพาะเชื้อและแยกเชื้อบริสุทธิ์โดยวิธีเดียวกัน

เก็บเชื้อรากไಡ้จากแต่ละโคลoniชื่อเรียกว่า “ไอโซเลท” ไว้ในหลอดอาหารร้อนอุ่น malt extract agar สำหรับการศึกษาต่อไป

3.2.3 การตรวจวัดรายอุณหภูมิ Poly-R 478

นำเชื้อรากบริสุทธิ์ไಡ้แยกไಡ้ทั้งหมดรวมทั้งเชื้อรากอ่อน อ่อน S. pulverulentum และ T. versicolor มาทดสอบการย้อมสลายสี Poly R-478 ดังนี้

1. เพาะเลี้ยงเชื้อรากบนจานอาหาร malt extract agar ที่อุณหภูมิห้องจนเจริญเกือบเต็มพิเวหน้าจาน

2. ใช้ใบมีดปลอดเชือดตัดเส้นใยของเชื้อรากบริเวณด้านนอกของโคลoni เป็นชิ้นสี่เหลี่ยมขนาด 0.5×0.5 มม. ใช้ปากคีบปลอดเชือกคีบส่วนเส้นใยจำนวน 10 ชิ้นลงในฟลาสก์ขนาด 250 มล. ที่บรรจุอาหารเลี้ยงเชื้อสูตรจำกัดในโตรเจน (ภาคพนวก ก) ปริมาตร 30 มล. นำไปปั่นบ่ำเพื่อที่อุณหภูมิห้องในสภาวะไม่มีการเยี่ยง

3. เมื่อครบเวลา 4 วัน เติมสารละลายสี Poly R-478 (กำจัดเชื้อโดยการกรองผ่านเยื่อกรองขนาดช่อง 0.45 ไมครอน) ให้มีความเข้มข้นของสีในอาหารเลี้ยงเชื้อเท่ากับ 0.02%

4. ตรวจวัดการย้อมสลายสีทุกวัน ดังนี้

- 4.1 ปีเปตนำเลี้ยงเชื้อ 1 มล. ปั่นให้ยิ่งเพื่อแยกเส้นใยออก เก็บส่วนของเหลว
- 4.2 เจือจางตัวอย่าง 0.1 มล. ด้วยน้ำกลั่น 0.9 มล. ผสมให้เข้ากันด้วยเครื่องผสม
- 4.3 วัดค่าการดูดกลืนแสงที่ความยาวคลื่น 350 และ 520 นาโนเมตร คำนวณ อัตราส่วนระหว่างค่าการดูดกลืนแสงที่ 520 และ 350 นาโนเมตร

3.2.4 การวัดกิจกรรมของเอนไซม์

ตรวจวัดกิจกรรมเอนไซม์กินนิเปอร์ออกซิเดสและแอลกอเคนของราษฎร์ย้อมสลายสี Poly R-478 ได้ แล้วเชื้อรากอ่อน ตามวิธีดังต่อไปนี้

1. เพาะเลี้ยงเชื้อรากในอาหารเหลวสูตรจำกัดในโตรเจนที่อุณหภูมิห้อง ในสภาวะไม่มีการเยี่ยง ตามวิธีในข้อ 3.2.3
2. เมื่อครบเวลา 5 และ 7 วัน ปีเปตนำเลี้ยงเชื้อ 1 มล. ปั่นให้ยิ่งแยกเส้นใยออก นำส่วนของเหลวมาหากิจกรรมเอนไซม์แต่ละชนิด ดังนี้

ก. ลิกนินเปอร์ออกซิเดส

วัดกิจกรรมลิกนินเปอร์ออกซิเดสตามวิธีที่เสนอโดย Tein และ Kirk (1983) ดังนี้

(1) ปฏิปฏุส่วนผสมต่อไปนี้ลงในหลอดสำหรับวัด (cuvette):

- สารละลายน้ำ sodium tartrate (pH 2.5), 25 mM 300 ไมโครลิตร
- veratryl alcohol, 2mM 300 ไมโครลิตร
- สารละลายนีโฉม 300-700 ไมโครลิตร
- hydrogen peroxide, 0.4 mM 120 ไมโครลิตร

(2) วัดค่าการดูดกลืนแสงที่ความยาวคลื่น 310 นาโนเมตร ด้วยเครื่องวัดการดูดกลืนแสงโดยควบคุมอุณหภูมิของการเกิดปฏิกิริยาที่ 30°ช

(3) คำนวณยูนิตของเอนไซม์จาก:

1 หน่วยของลิกนินเปอร์ออกซิเดส หมายถึงปริมาณเอนไซม์ที่ออกซิไดซ์ veratryl alcohol 1 mmol ภายในเวลา 1 นาทีในสภาวะที่ใช้วัด

(4) คำนวณความเข้มข้นของเอนไซม์ (หน่วยต่อมล.)

ข. แอลกอเจส

วัดกิจกรรมของเอนไซม์แอลกอเจสตามวิธีของ Barbosa และคณะ (1996)

(1) ปฏิปฏุส่วนผสมต่อไปนี้ลงในหลอดแก้ว:

- ABTS (2,2'-azino-bis(3-ethylbenzthiazoline-6-sulphonic acid, 50mM 50 ไมโครลิตร
- citrate-phosphate buffer (McIlvain buffer), 120 mM, pH 3.0 150 ไมโครลิตร
- สารละลายนีโฉม 50-500 ไมโครลิตร

(2) นำไปบ่มที่อุณหภูมิ 50°ช เป็นเวลา 5 นาที

(3) วัดค่าการดูดกลืนแสงที่ความยาวคลื่น 420 นาโนเมตร

(4) คำนวณหน่วยของแอลกอเจสจาก:

1 หน่วยของแอลกอเจส หมายถึงปริมาณเอนไซม์ที่ออกซิไดซ์ ABTS 1 μmol ภายในเวลา 1 นาที ในสภาวะที่ใช้วัด

(5) คำนวณความเข้มข้นของแอลกอเจสในสารละลายน้ำ (หน่วยต่อมล.)

6.2.5 การจำแนกเชื้อราเบื้องต้น

นำรากไอโซเลทที่ย่อยสลายตัว Poly R-478 ได้ดีที่คัดเลือกได้มาศึกษาลักษณะโครงสร้างเส้นใยและสปอร์โดยการทำ slide culture (ภาคผนวก ข) และศึกษาลักษณะของเบสิดิโอลาร์พจากภาพถ่ายเพื่อจัดจำแนกระดับสกุล

รายการ	จำนวนเซลล์			รูปร่าง
	ทรงกลมขด	ทรงกลม	ทรงกระบอก	
ผ่านฟิล์มขด	7	4	4	KC
ผ่านฟิล์ม	8	7	7	CM
ผ่านฟิล์ม	10	2	8	KK
ผ่านฟิล์ม	14	19	19	P
ผ่านฟิล์ม	5	5	76	

บทที่ 4

ผลการทดลอง

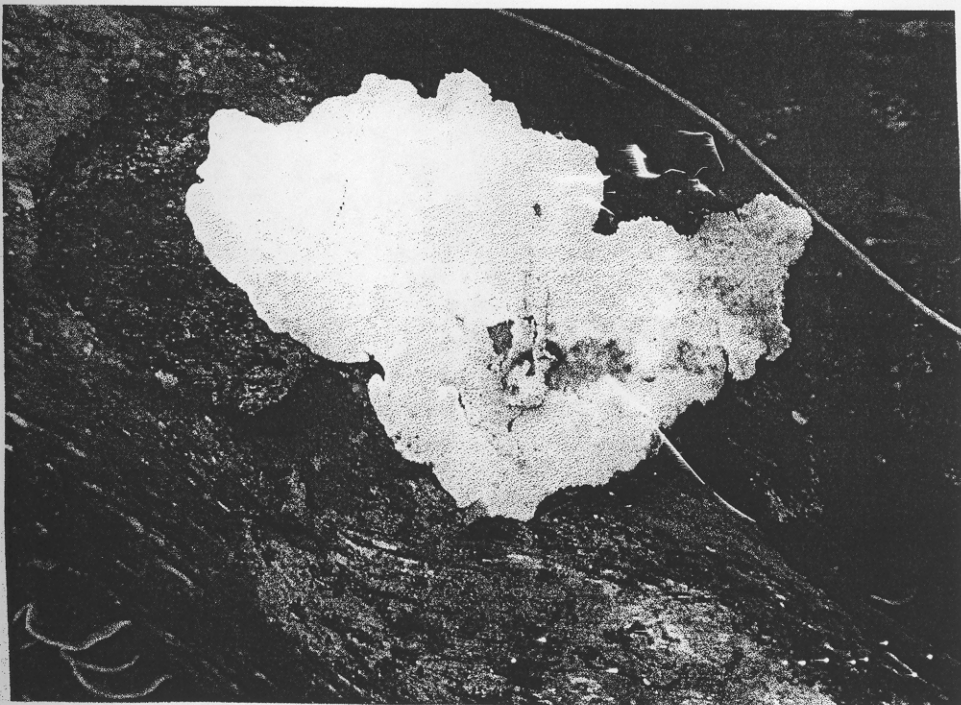
1. การเก็บตัวอย่างและการแยกเชื้อรานิสุกธ์

จากการเก็บตัวอย่างเบล็คิโอลิโคร์พของรายอิสลาญไม้และชิ้นส่วนไม้ผูกแหล่งต่างๆ ในประเทศไทย และนำมาเพาะแยกเชื้อรานิสุกธ์บนอาหารเลี้ยงเชื้อ malt extract agar ที่ผสม streptomycin สามารถแยกเชื้อบริสุกธ์ได้ดังสรุปไว้ในตารางที่ 1

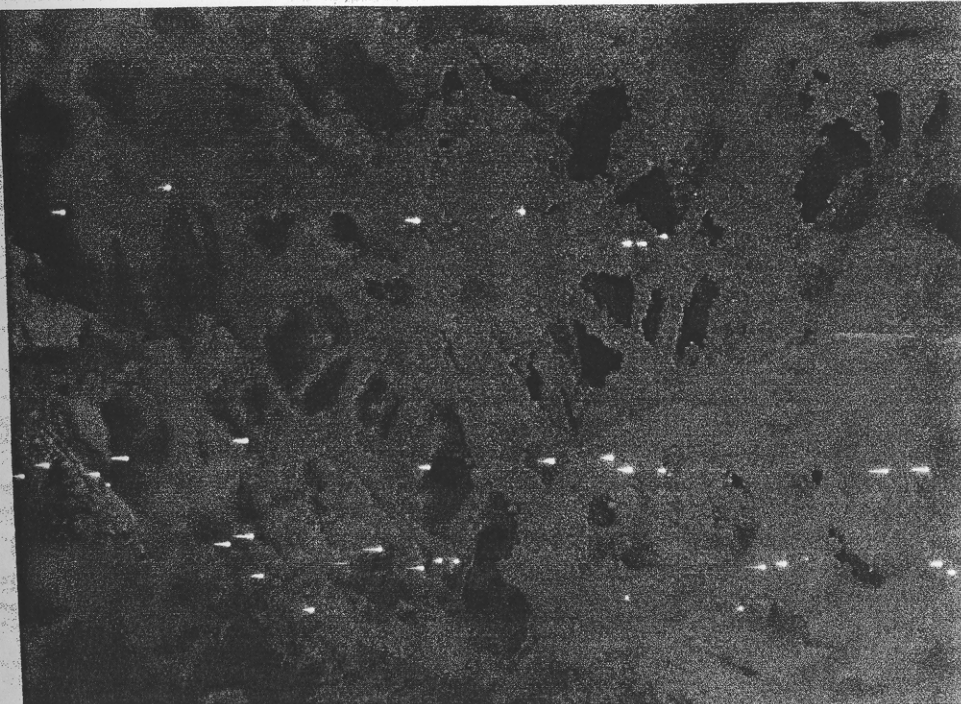
ตารางที่ 1 จำนวนตัวอย่างที่เก็บจากแหล่งต่างๆ ในประเทศไทย และจำนวนไอโซเลทของเชื้อรานิสุกธ์ที่แยกได้

แหล่งที่เก็บตัวอย่าง	จำนวนตัวอย่าง		จำนวนไอโซเลท ที่แยกได้	รหัสของรา
	ฟรุตติงบอดี	เคเม้มผุ		
เกาะช้าง จ. ตราด	7	-	4	KC
เข้าชะเม่า จ. ระยอง	8	-	7	CM
เข้าเขียว จ. ชลบุรี	10	2	8	KK
นำตอก จ. แพร่	14	-	19	P
นำตอกเหวนรอก จ. ปราจีนบุรี	28	3	34	KY
แหล่งอื่นๆ ใน จ. ชลบุรี	5	-	4	RM, PT
รวม	72	5	76	

สำหรับลักษณะเบล็คิโอลิโคร์พของรายอิสลาญไม้และลักษณะของไม้ผูกที่นำมาแยกเชื้อรานิสุกธ์ดังแสดงตัวอย่างในภาพที่ 4 ถึงภาพที่ 13



ภาพที่ 4 ลักษณะเบสิคิโอการ์พของราหัส P3

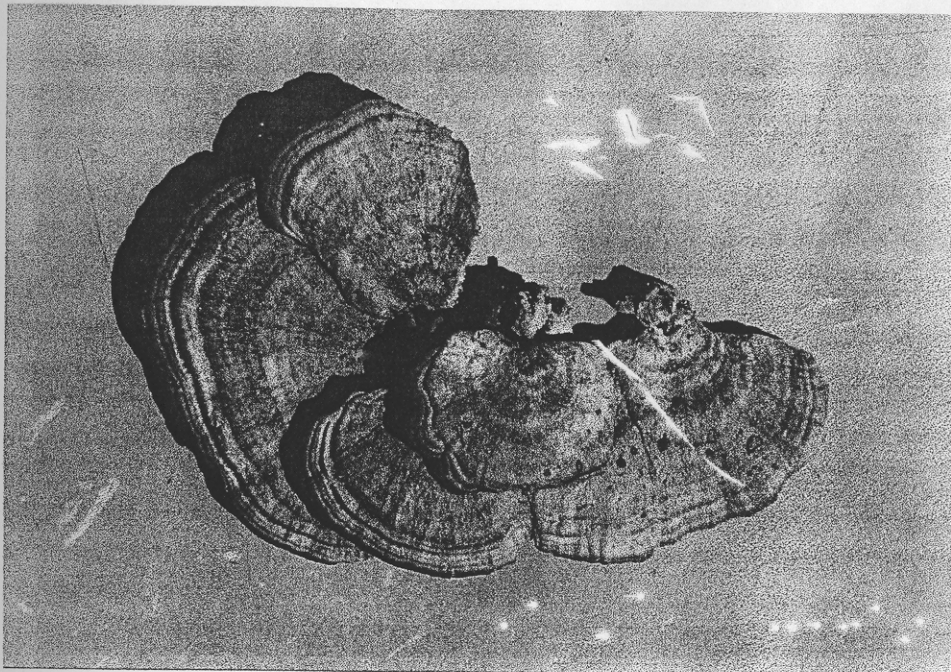


ภาพที่ 5 ลักษณะเบสิคิโอการ์พของราหัส P10

137404

549.5
ณ 451n

(B. 4)



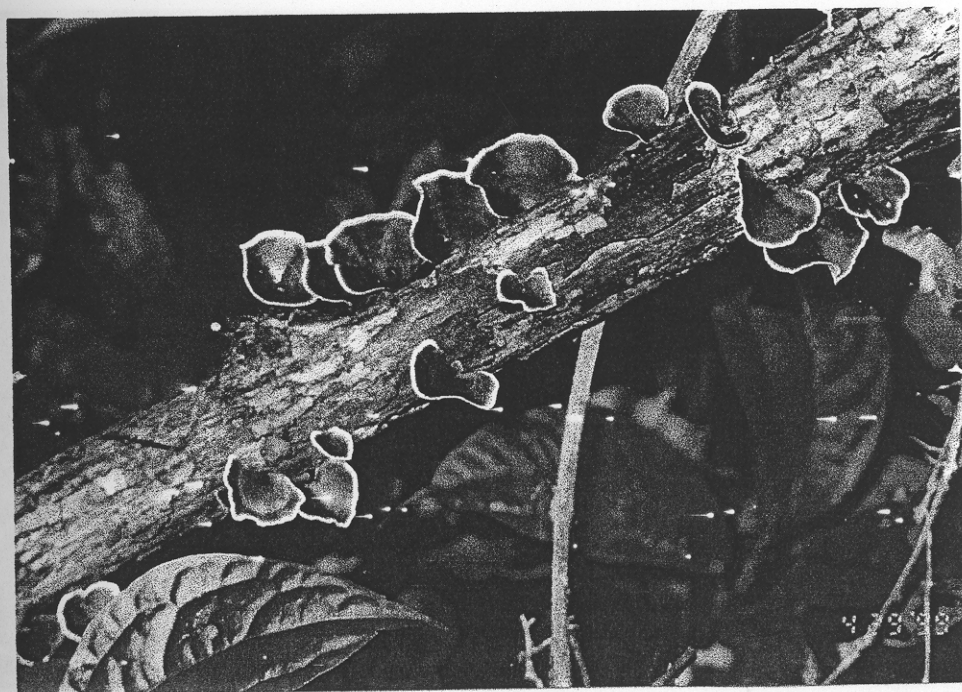
ภาพที่ 6 ลักษณะเบสิคิโอลาร์พของราหัส KY3



ภาพที่ 7 ลักษณะเบสิคิโอลาร์พของราหัส KY5



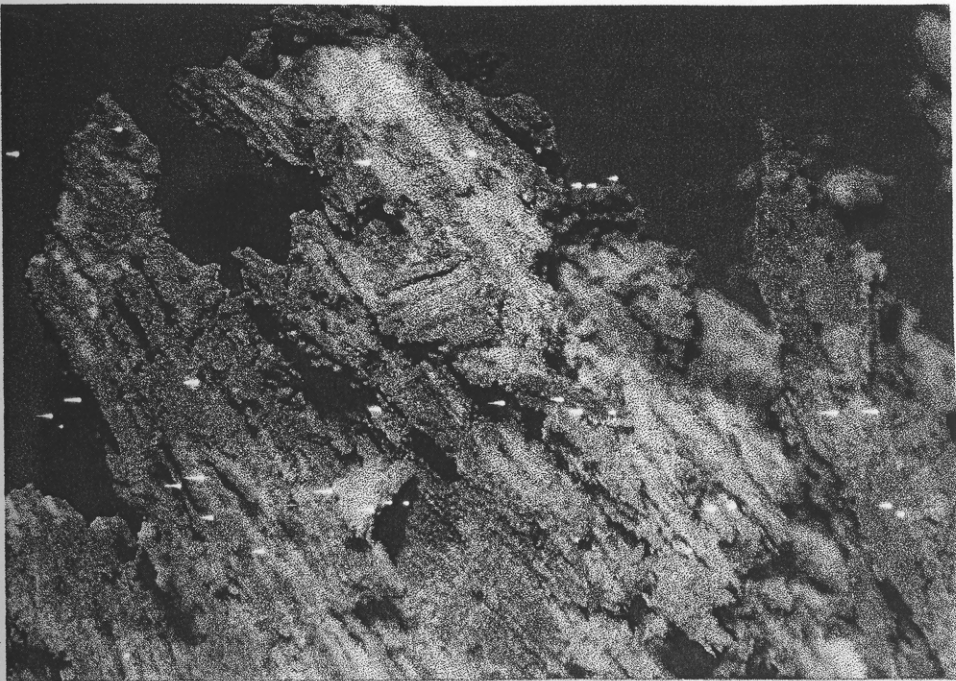
ภาพที่ 8 ลักษณะเบสิคิโอการ์พของราหัส KY8



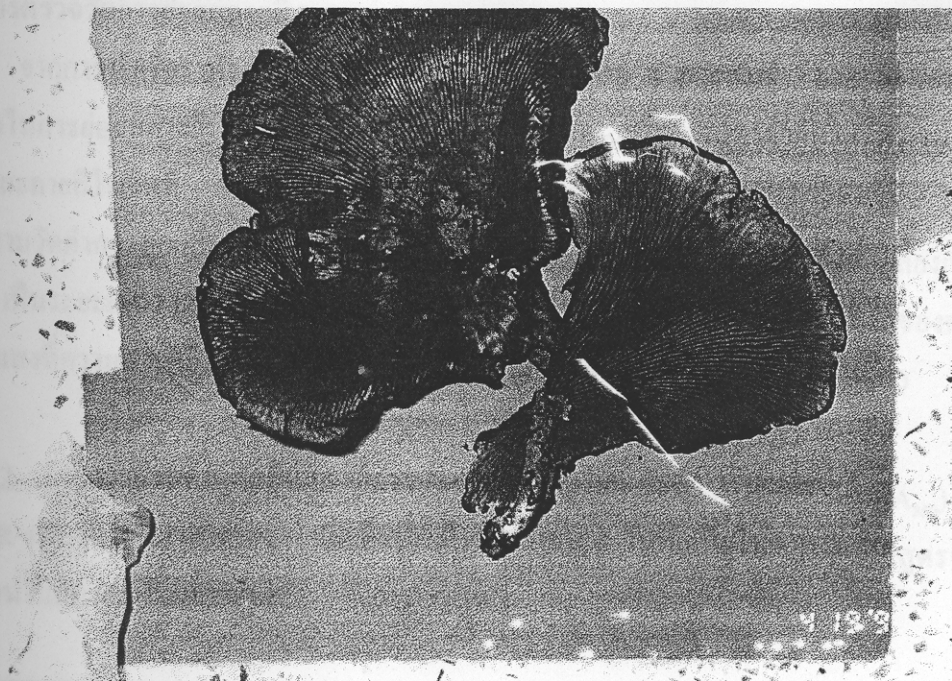
ภาพที่ 9 ลักษณะเบสิคิโอการ์พของราหัส KY22



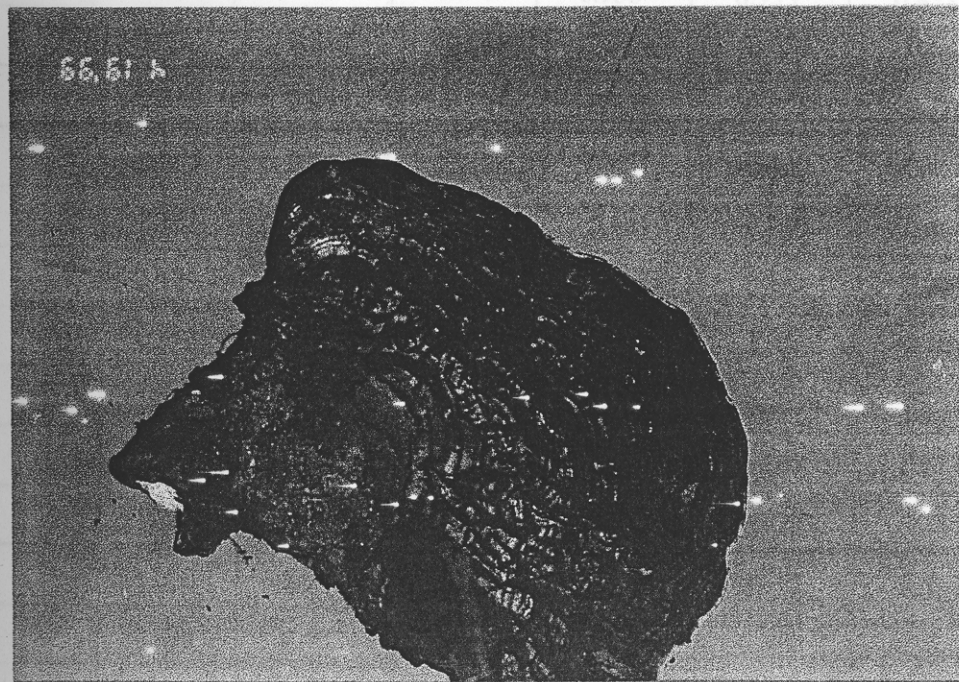
ภาพที่ 10 ลักษณะเบสิคโดยการพอง rarหัส KK5



ภาพที่ 11 ลักษณะของไม้ผุที่แยกได้ rarหัส KK9



ภาพที่ 12 ลักษณะของเบสิคิโอคาร์พของරารหัส KC2



ภาพที่ 13 ลักษณะของเบสิคิโอคาร์พของරารหัส KC6

4.2 การตรวจวัดการย่อยสลายสี Poly R-478

จากการนำเชื้อราหัส 76 ไอโซเลทและเชื้อราอ้างอิงอีก 2 สายพันธุ์ มาตรวจสอบความสามารถในการย่อยสลายสี Poly R-478 โดยเพาะเลี้ยงในอาหารเหลวสูตรจำากัดในโตรเจน และเติมสารคลายสีในวันที่ 4 ของการเลี้ยงเชื้อให้มีความเข้มข้นของสีในอาหารเลี้ยงเชื้อ 0.02% เมื่อติดตามวัดค่าการดูดกลืนแสงที่ความยาวคลื่น 350 และ 520 นาโนเมตร ของอาหารเลี้ยงเชื้อทุก 24 ชม. เป็นระยะเวลา 120 ชม. (5 วัน) พบรากวนวน 13 ไอโซเลทที่ทำให้อัตราส่วนของค่าการดูดกลืนแสงที่ความยาวคลื่นทั้งสองค่าลดลงเมื่อเทียบกับชุดควบคุมที่ไม่มีเชื้อ (ตารางที่ 2)

ตารางที่ 2 อัตราส่วนค่าดูดกลืนแสงที่ความยาวคลื่น 520 และ 350 นาโนเมตร (A_{520}/A_{350}) ของสี Poly R-478 ที่ระยะเวลาต่างๆ เมื่อเติมถึงในเชื้อราอายุ 4 วันที่จริงในอาหารเหลวสูตรจำากัดในโตรเจนในสภาพไม่มีการเขย่า

ชื่อหรือรหัส	A_{520}/A_{350}					
	0 ชม.	24 ชม.	48 ชม.	72 ชม.	96 ชม.	120 ชม.
ชุดควบคุม	1.238	1.191	1.200	1.236	1.231	1.228
<i>S. pulverulentum</i>	1.169	1.126	1.102	1.180	1.233	1.194
<i>T. versicolor</i>	1.009	0.986	0.979	0.956	0.935	0.878
CM4	1.125	0.819	0.811	0.744	0.650	0.620
KC7	1.160	0.948	0.903	0.875	0.805	0.715
P4.2	0.665	0.522	0.468	0.431	0.420	0.420
P7	0.761	0.630	0.630	0.441	0.429	0.406
P10	1.129	0.895	0.769	0.544	0.366	0.283
P14	0.913	0.709	0.635	0.538	0.501	0.448
KK5	1.146	0.991	0.746	0.594	0.427	0.328
KY2.2	1.175	0.961	0.785	0.709	0.698	0.614
KY6.3	1.260	1.132	0.685	0.463	0.403	0.284
KY8	1.120	1.061	1.036	0.892	0.719	0.563
KY14.2	0.830	0.662	0.570	0.541	0.485	0.446
KY25.1	1.080	1.026	0.853	0.804	0.703	0.614
RM	0.789	0.739	0.691	0.583	0.547	0.505

หมายเหตุ จำนวนช.m.ที่แสดงในตารางหมายถึงระยะเวลาหลังการเติมสี Poly R-478 ลงไปในการเดี่ยงเชื้อ

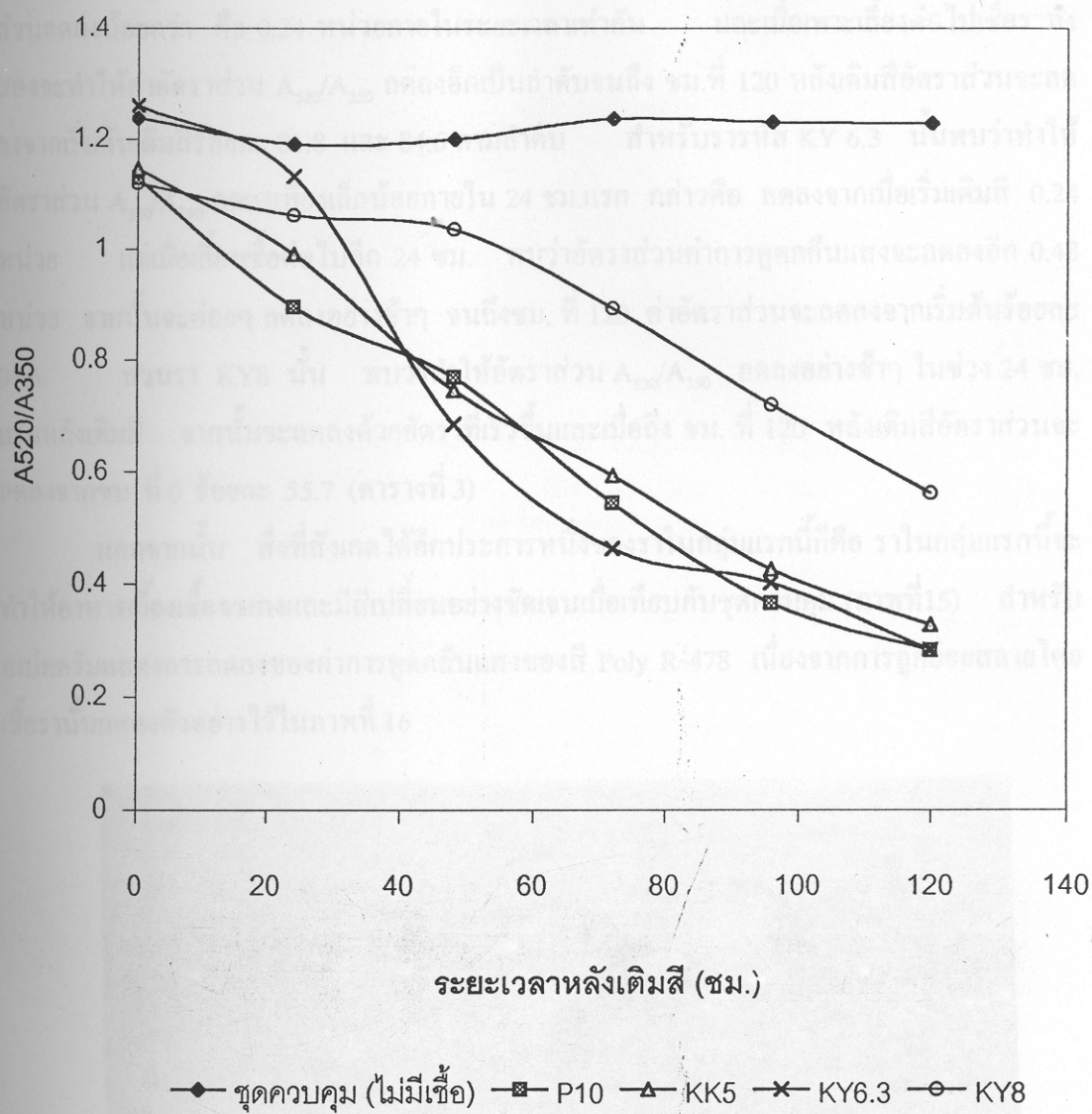
จากข้อมูลในตารางที่ 2 สามารถคำนวณค่าผลต่างระหว่าง A_{520}/A_{350} ที่เวลา 0 ชม. และ 120 ชม. และคิดเป็นร้อยละของค่าอัตราส่วนที่ลดลงของราเต้ดํา ไอโซเลทได้ดังแสดงในตารางที่ 3

ตารางที่ 3 เปรียบเทียบปริมาณการลดลงของอัตราส่วนค่าการดูดกลืนแสงที่ความยาวคลื่น 520 และ 350 นาโนเมตร จากเวลา 0 ชม. ถึง 120 ชม. หลังเติมสี ($\Delta A_{520}/A_{350}$) ของราที่ย่อยสลายสี Poly R-478 ได้

ชื่อหรือรหัสของรา	$\Delta A_{520}/A_{350}$	ร้อยละ
<i>S. pulverulentum</i>	0.000	0
<i>T. versicolor</i>	0.131	13.1
CM4	0.505	50.5
KC7	0.445	44.5
P4.2	0.245	24.5
P7	0.355	35.5
P10	0.846	84.6
P14	0.365	36.5
KK5	0.818	81.8
KY2.2	0.561	56.1
KY6.3	0.876	87.6
KY8	0.716	71.6
KY14.2	0.384	38.4
KY25.1	0.466	46.6
RM	0.284	28.4

จากตารางที่ 2 และตารางที่ 3 จะพบว่ามีราที่ย่อยสลายสีได้จำนวนทั้งหมด 13 ไอโซเลท โดยอาจแบ่งราเหล่านี้ออกได้เป็น 3 กลุ่ม กลุ่มแรกเป็นราที่ทำให้อัตราส่วน A_{520}/A_{350} ลดลงจากเริ่มแรกได้มากกว่าร้อยละ 50 ซึ่งมีจำนวน 4 ไอโซเลท ได้แก่ ราหัส P10, KK5, KY6.3 และ

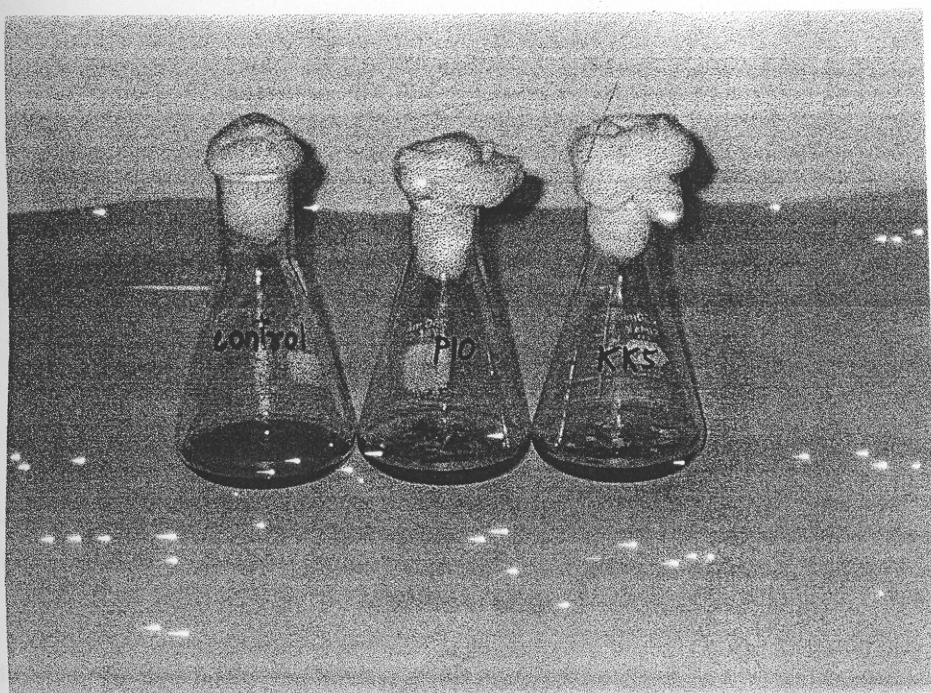
KY8 และเมื่อนำค่าอัตราส่วน A_{520}/A_{350} ที่เวลาต่างๆ ของรากที่ 4 ไอโซเลทจากตารางที่ 2 มาเขียนกราฟแสดงการเปลี่ยนแปลง จะได้ดังภาพที่ 14



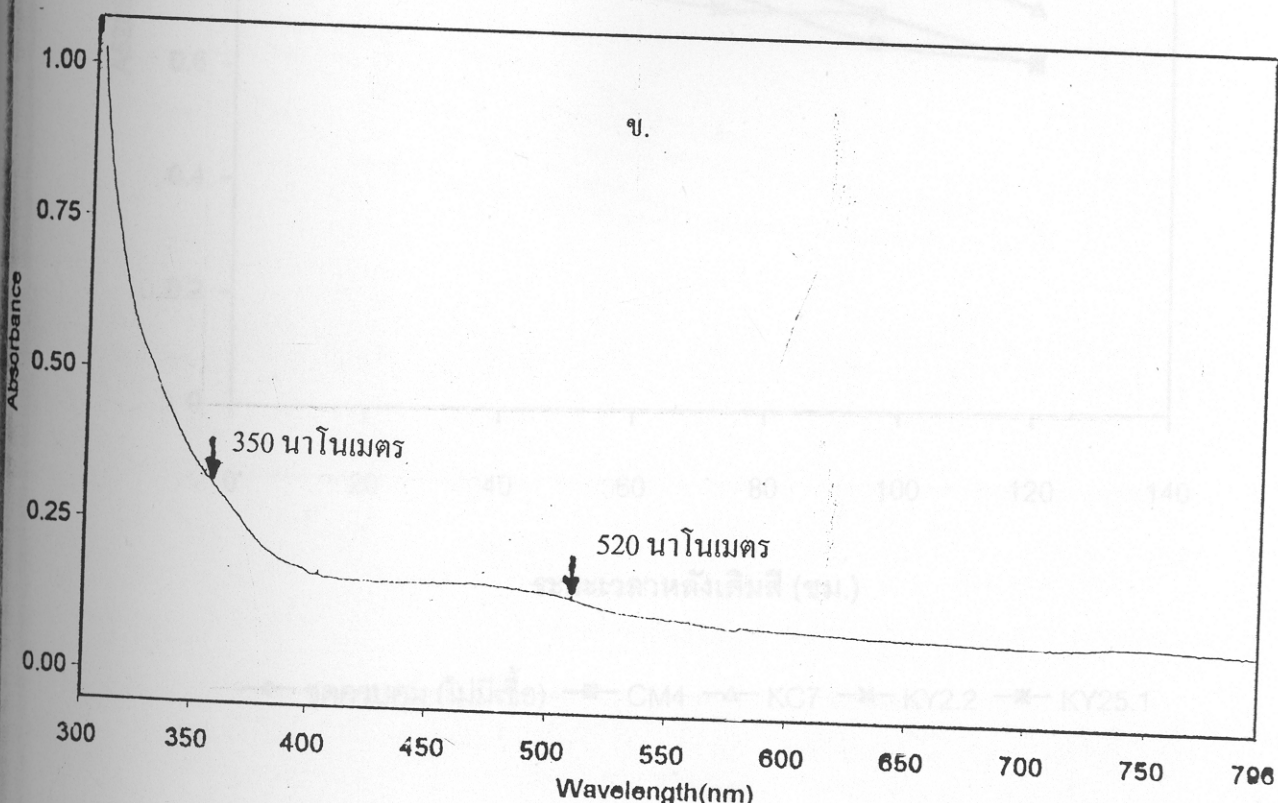
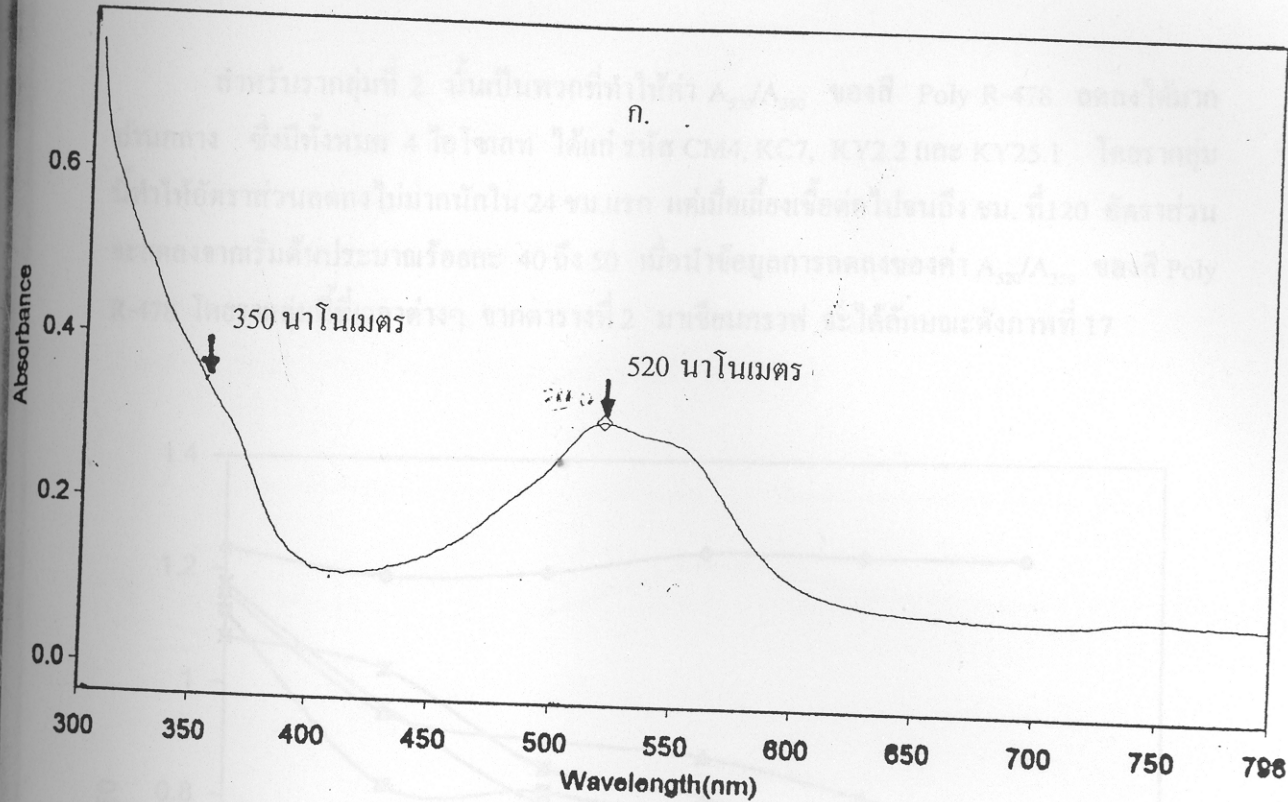
ภาพที่ 14 การเปลี่ยนแปลงอัตราส่วนของค่าการดูดกลืนแสงที่ความยาวคลื่น 520 และ 350 นาโนเมตร (A_{520}/A_{350}) ของตี Poly R-478 โดยรากที่ 4 อย่างสลายสีได้ดี เมื่อเทียบ เชื้อในอาหารเหลวสูตรจำกัด ในโตรเจนในสภาวะไม่มีการเรย่า

จากการภาพที่ 14 จะพบว่ารารหัส KK5 และ P10 ทำให้อัตราส่วน A_{520}/A_{350} ของสี Poly R-478 ลดลงมากภายในเวลา 24 ชม. หลังการเติมสี โดยรารหัส KK5 ทำให้อัตราส่วนดังกล่าวลดลงมากที่สุดคือ 0.46 หน่วยภายในเวลา 24 ชม. ในขณะที่รารหัส P10 ทำให้อัตราส่วนลดลงน้อยกว่า คือ 0.24 หน่วยภายในระยะเวลาเท่ากัน และเมื่อเพาะเลี้ยงต่อไปเชื้อรากทั้งสองจะทำให้ค่าอัตราส่วน A_{520}/A_{350} ลดลงอีกเป็นลำดับจนถึง ชม.ที่ 120 หลังเติมสีอัตราส่วนจะลดลงจากเริ่มต้นเติมสีร้อยละ 81.8 และ 84.6 ตามลำดับ สำหรับรารหัส KY 6.3 นั้นพบว่าทำให้อัตราส่วน A_{520}/A_{350} ลดลงเพียงเล็กน้อยภายใน 24 ชม. แรก กล่าวคือ ลดลงจากเมื่อเริ่มเติมสี 0.24 หน่วย แต่เมื่อเลี้ยงเชื้อต่อไปอีก 24 ชม. พบร่วมกับอัตราส่วนค่าการดูดกลืนแสงจะลดลงอีก 0.48 หน่วย จากนั้นจะค่อยๆ ลดลงอย่างช้าๆ จนถึงชม.ที่ 120 ค่าอัตราส่วนจะลดลงจากเริ่มต้นร้อยละ 97.6 ส่วนร่า KY8 นั้น พบว่าทำให้อัตราส่วน A_{520}/A_{350} ลดลงอย่างช้าๆ ในช่วง 24 ชม. แรกหลังเติมสี จากนั้นจะลดลงด้วยอัตราที่เร็วขึ้นและเมื่อถึง ชม. ที่ 120 หลังเติมสีอัตราส่วนจะลดลงจากชม. ที่ 0 ร้อยละ 55.7 (ตารางที่ 3)

นอกจากนั้น สิ่งที่สังเกตได้อีกประการหนึ่งของรานิกลุ่มแรกนี้คือ รานิกลุ่มแรกนี้จะทำให้อาหารเลี้ยงเชื้อจางลงและมีสีเปลี่ยนอย่างชัดเจนเมื่อเทียบกับชุดควบคุม (ภาพที่ 15) สำหรับสเปคตรัมแสดงผลการลดลงของค่าการดูดกลืนแสงของสี Poly R-478 เนื่องจากการถูกย่อยสลายโดยเชื้อรานี้แสดงตัวอย่างไว้ในภาพที่ 16



ภาพที่ 15 ลักษณะการจางลงของสี Poly R-478 ในอาหารเลี้ยงเชื้อ โดยร่าที่ย่อยสลายสีได้ดี หลังการเติมสีเป็นเวลา 120 ชม.

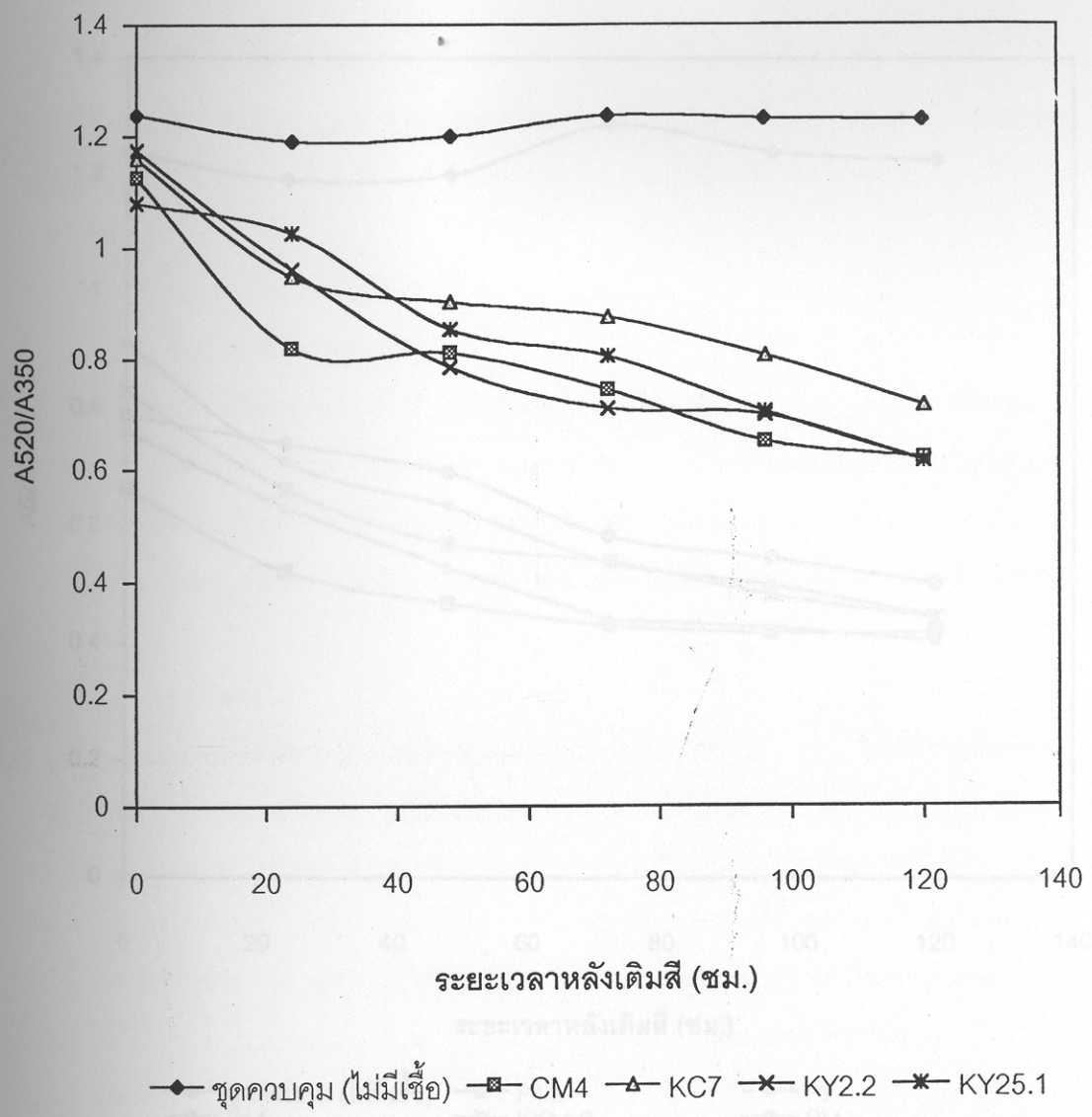


ภาพที่ 16 สเปกตรัมแสดงการลดลงของค่าการดูดกลืนแสงที่ความยาวคลื่น 520 นาโนเมตร
ของสี Poly R-478 โดยรา P10

ก. หลังเติมสี 0 ซม.

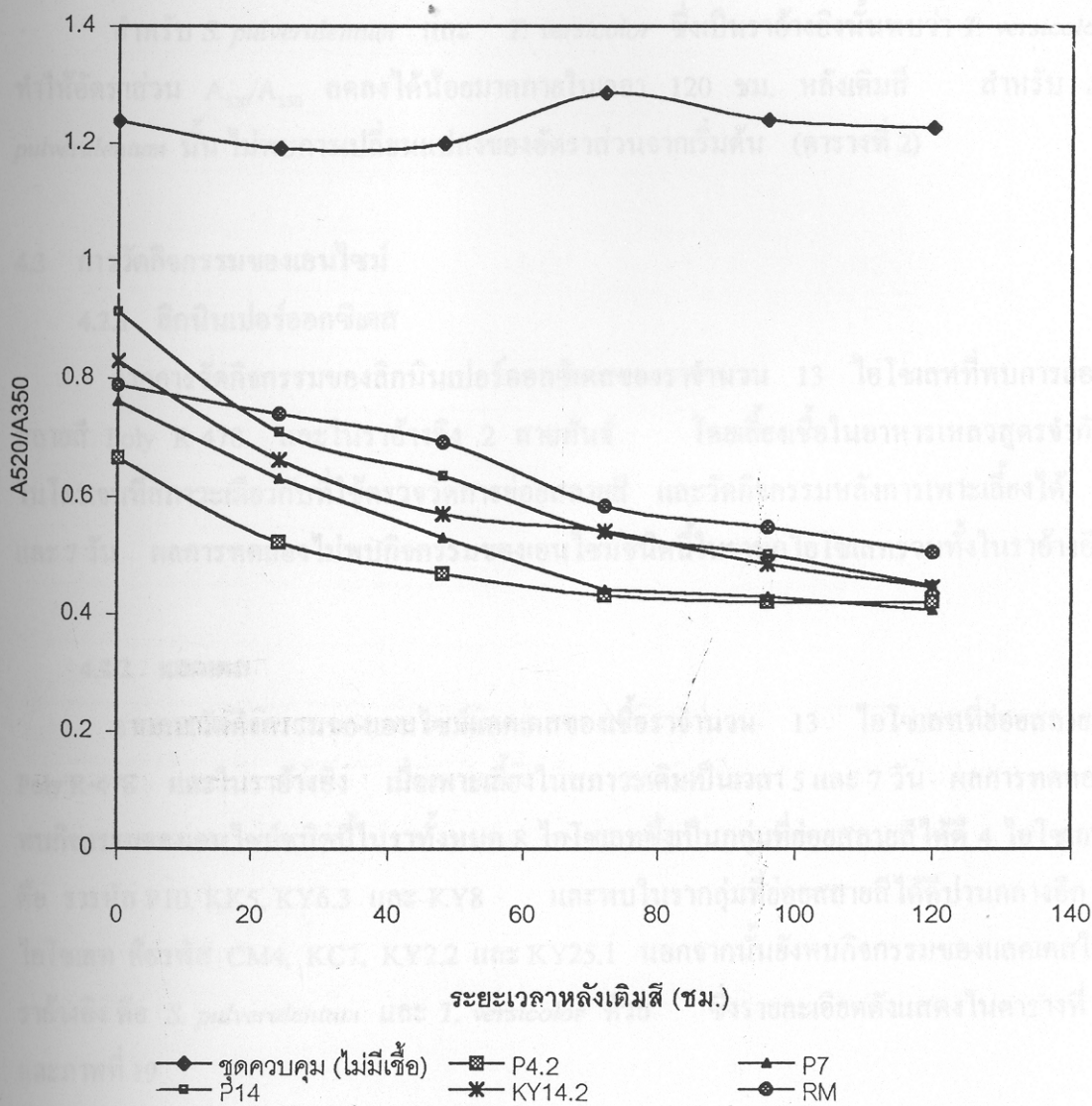
ข. หลังเติมสี 96 ซม.

สำหรับรากลุ่มที่ 2 นั้นเป็นพวกที่ทำให้ค่า A_{520}/A_{350} ของสี Poly R-478 ลดลงได้มาก ปานกลาง ซึ่งมีทั้งหมด 4 ไอโซเลท ได้แก่ รหัส CM4, KC7, KY2.2 และ KY25.1 โดยรากลุ่มนี้ทำให้อัตราส่วนลดลงไม่มากนักใน 24 ชม.แรก แต่เมื่อเลี้ยงเชื้อต่อไปจนถึง ชม.ที่ 120 อัตราส่วนจะลดลงจากเริ่มต้นประมาณร้อยละ 40 ถึง 50 เมื่อนำข้อมูลการลดลงของค่า A_{520}/A_{350} ของสี Poly R-478 โดยรากลุ่มนี้ที่เวลาต่างๆ จากตารางที่ 2 มาเขียนกราฟ จะได้ลักษณะดังภาพที่ 17



ภาพที่ 17 การเปลี่ยนแปลงอัตราส่วนของค่าการดูดกลืนแสงที่ความยาวคลื่น 520 และ 350 นาโนเมตร (A_{520}/A_{350}) ของสี Poly R-478 โดยทารที่ย่อยสลายสีได้ดีปานกลาง เมื่อเลี้ยงเชื้อในอาหารเหลวสูตรจำกัดในโตรเจนในสภาพไม่มีการเบ่า

สำหรับรากลุ่มที่ 3 นั้นเป็นพวงที่ย่อยสลายสีได้น้อย นอกจากนั้นยังมีความแตกต่างจาก
รากลุ่มที่ 1 และรากลุ่มที่ 2 คือ เป็นกลุ่มที่ทำให้อัตราส่วน A_{520}/A_{350} ลดลงตั้งแต่เริ่มเติมสี โดย³
ลดลงถึงเกือบร้อยละ 50 เมื่อเทียบกับชุดควบคุมที่ไม่มีเชื้อ และเมื่อบ่มเพาะเชื้อต่อไปค่าอัตรา³
ส่วนจะลดลงอย่างช้าๆ และเมื่อถึงช.m. ที่ 120 อัตราส่วนจะยังคงมีค่าต่ำข้างสูงอยู่ และเมื่อ³
นำข้อมูลของอัตราส่วน A_{520}/A_{350} ของสี Poly R-478 ที่เวลาต่างๆ โดยเชื้อรานอกกลุ่มนี้จากตารางที่ 2
มาเขียนกราฟแสดงการเปลี่ยนแปลง จะได้ดังภาพที่ 18



ภาพที่ 18 การเปลี่ยนแปลงอัตราส่วนของค่าการดูดกลืนแสงที่ความยาวคลื่น 520 และ 350
นาโนเมตร (A_{520}/A_{350}) ของสี Poly R-478 โดยราทีย่อยสลายสีได้น้อย
เมื่อเลี้ยงเชื้อในอาหารเหลวสูตรจำ กัด ในโตรเจนในสภาพไม่มีการเบี่ยง

จากการภาพที่ 18 จะพบว่าแม้ว่าเหล่านี้จะทำให้อัตราส่วน A_{520}/A_{350} ของสี Poly R-478 ลดลงมากเมื่อเริ่มเติมสี แต่มีอิเล็กซ์เชื้อต่อไปจนถึง 120 ชม. อัตราส่วนจะลดลงอย่างช้าๆ ตัวอย่างเช่น รหัส P4.2 ทำให้ A_{520}/A_{350} ลดลงเพียง 0.14 หน่วย ภายในเวลา 24 ชม. แรกหลังเติมสี จากนั้นจะทำให้อัตราส่วนลดลงอย่างช้าๆ จนถึงช.m. ที่ 120 หลังเติมสี สำหรับรหัสอื่นนั้นพบว่าทำให้เกิดการเปลี่ยนแปลงในทำนองเดียวกัน และเมื่อถึง ช.m. ที่ 120 หลังเติมสี อัตราส่วนจะลดลงจากช.m. ที่ 0 หลังเติมสีไม่เกินร้อยละ 50 เท่านั้น (ตารางที่ 3)

สำหรับ *S. pulverulentum* และ *T. versicolor* ซึ่งเป็นราสีงั้นพบว่า *T. versicolor* ทำให้อัตราส่วน A_{520}/A_{350} ลดลงได้น้อยมากภายในเวลา 120 ชม. หลังเติมสี สำหรับ *S. pulverulentum* นั้น ไม่พบการเปลี่ยนแปลงของอัตราส่วนจากเริ่มต้น (ตารางที่ 2)

4.3 การวัดกิจกรรมของเอนไซม์

4.2.1 ลิกนินปeroxออกซิเดต

จากการวัดกิจกรรมของลิกนินปeroxออกซิเดตของราษฎร 13 ไอโซเลทที่พบร้อยละ Poly R-478 และในราสี 2 สายพันธุ์ โดยอิเล็กซ์ในอาหารเหลวสูตรจำกัด ในโตรเจนที่สภาวะเดียวกับที่ใช้ตรวจวัดการย่อยสายสี และวัดกิจกรรมหลังการเพาะเลี้ยงได้ 5 และ 7 วัน ผลการทดลองไม่พบกิจกรรมของเอนไซม์ชนิดนี้ในราสี ไอโซเลทรวมทั้งในราสี ของ

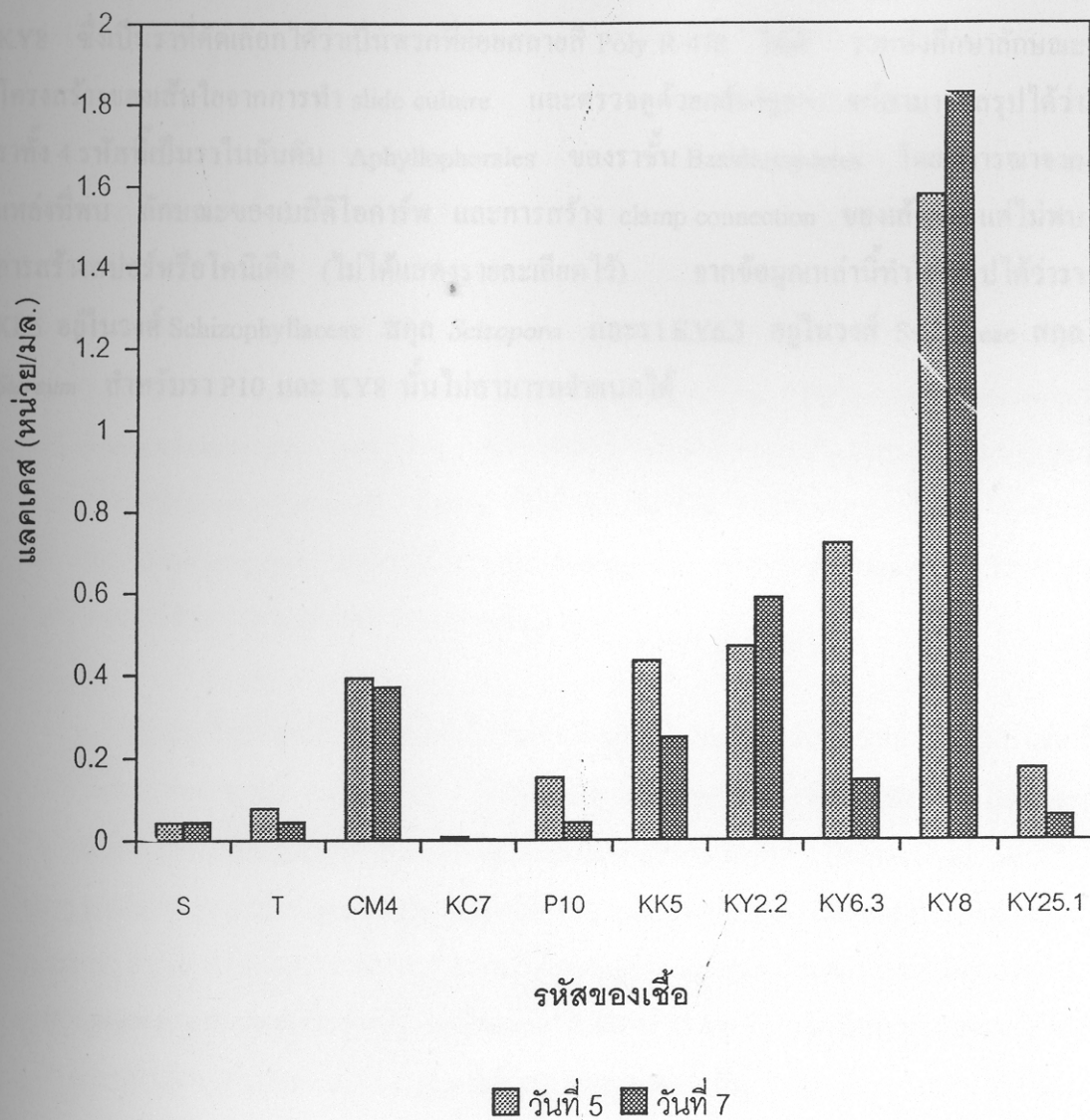
4.2.2 แอลกอฮอล์

จากการวัดกิจกรรมของเอนไซม์แอลกอฮอล์ของเชื้อราก 13 ไอโซเลทที่ย่อยสายสี Poly R-478 และในราสี เมื่อเพาะเลี้ยงในสภาวะเดิมเป็นเวลา 5 และ 7 วัน ผลการทดลองพบกิจกรรมของเอนไซม์ชนิดนี้ในราหั่งหมด 8 ไอโซเลทซึ่งเป็นกลุ่มที่ย่อยสายสีได้ดี 4 ไอโซเลทคือ รหัส P10, KK5, KY6.3 และ KY8 และพบในรากรุ่นที่ย่อยสายสีได้ดีปานกลางอีก 4 ไอโซเลท คือรหัส CM4, KC7, KY2.2 และ KY25.1 นอกจากนั้นยังพบกิจกรรมของแอลกอฮอล์ในราสี คือ *S. pulverulentum* และ *T. versicolor* ด้วย ซึ่งรายละเอียดดังแสดงในตารางที่ 3 และภาพที่ 19

ตารางที่ 3 ปริมาณแอลกอเจสที่ผลิตโดยราทีเยอร์อยส์ลัยดี Poly R-478 และราอ้างอิง เมื่อเลี้ยงเชื้อในอาหารเหลวสูตรจำกัด ในไตรเจน ในสภาพะ ไม่มีการเขย่าเป็นเวลา 5 และ 7 วัน

ชื่อหรือรหัสของเชื้อรา	ปริมาณของแอลกอเจส (หน่วย/มล.)	
	วันที่ 5	วันที่ 7
<i>Sporotrichum pulverulentum</i>	0.042	0.044
<i>Trametes versicolor</i>	0.078	0.044
CM4	0.392	0.37
KC7	0.004	0.002
P4.2	-	-
P7	-	-
P10	0.152	0.042
P14	-	-
KK 5	0.542	0.248
KY2.2	0.468	0.588
KY6.3	0.072	0.144
KY8	1.576	1.82
KY14.2	-	-
KY25.1	0.172	0.058
RM	-	-

4.4 การเจริญเติบโต



ภาพที่ 19 ปริมาณแอลกอฮอล์ที่ผลิตโดยราธีเยื่อยสลายสี Poly R-478 และราอ้างอิง 2 สายพันธุ์ เมื่อเลี้ยงเชื้อในอาหารเหตุสูตรจำกัด ในโตรเข็นในสภาพไม่มี การ เขย่าเป็นเวลา 5 และ 7 วัน

4.4 การจำแนกเชื้อราก

จากการศึกษาเหล่านี้พบและลักษณะของเบสิคิโอคาร์พของรา P10, KK5, KY6.3 และ KY8 ซึ่งเป็นราที่คัดเลือกได้ว่าเป็นพากที่ย่อยสลายสี Poly R-478 ได้ดี รวมทั้งศึกษาลักษณะโครงสร้างของเส้นใยจากการทำ slide culture และตรวจสอบคุณภาพลักษณะจุลทรรศน์สามารถสรุปได้ว่า ราทั้ง 4 รหัสนี้เป็นราในอันดับ Aphylophorales ของราชั้น Basidiomycetes โดยพิจารณาจากเหล่านี้พบว่าเป็นราที่มีลักษณะของเบสิคิโอคาร์พ และการสร้าง clamp connection ของเส้นใย แต่ไม่พบการสร้างสปอร์หรือโคนิดีย (ไม่ได้แสดงรายละเอียดไว้) จากข้อมูลเหล่านี้ทำให้สรุปได้ว่ารา KK5 属于 Schizophyllaceae สา群 *Scizopora* และรา KY6.3 属于 Stereaceae สา群 *Stereum* สำหรับรา P10 และ KY8 นั้นไม่สามารถจำแนกได้

บทที่ 5

อภิปรายและสรุปผลการทดลอง

จากการศึกษาลักษณะของเบสิดิโօคาร์พของรากรคุณย่อยสลายไม้ที่เก็บตัวอย่างจากแหล่งธรรมชาติในประเทศไทย โดยพิจารณาปัจจัยลักษณะของเบสิดิโօคาร์พทั้งด้านบนและด้านล่าง สรุปว่าทั้งลักษณะเนื้อสัมผัสและอาศัยวิธีการจัดจำแนกรายช่องกลุ่มย่อยสลายไม้ตาม Fergus (1960) และ Alexopoulos *et. al.*, (1996) ทำให้ทราบว่าราที่นำมาแยกเชื้อบริสุทธิ์เป็นราในชั้น Basidiomycetes อันดับ Aphylophorales วงศ์ Polyporaceae, Ganodermaceae, Stereaceae, Cantharellaceae และ Hymenochaetaceae สกุลต่างๆ ซึ่งราเหล่านี้เป็นสาขาวงของกลุ่มราขาว (white-rot fungi) และรานำ้ตาด (brown-rot fungi) นั่นเอง นอกจากนั้นยังพบว่าราที่เพาะแยกได้บางไโอโซเลทไม่ใช้รากรคุณ Basidiomycetes แต่อาจเป็นรากรคุณ Ascomycetes หรือ Fungi Imperfecti เนื่องจากพบว่าสร้างสปอร์จำนวนมากบนอาหาร malt extract agar

เมื่อนำเชื้อบริสุทธิ์ของราแต่ละไโอโซเลทที่แยกได้มาตรวจวัดกิจกรรมการย่อยสลายลิกนิน โดยวิธีวัดการย่อยสลายสี Poly R-478 ซึ่งเป็นสีโพลิเมอริกชนิดหนึ่งที่การย่อยสลายโนโลกลุ่มนั้นโดยเชื้อราบางชนิดมีความสัมพันธ์กับกิจกรรมการย่อยสลายลิกนิน (Barbosa *et. al.*, 1996) และการย่อยสลายสารประกอบ PAHs บางชนิด (Field *et. al.*, 1993) โดยเติมสารละลายสีลงไปในราอายุ 4 วันที่เจริญในอาหารเห料ที่จำกัดในไตรเจนและกสูโคลต ในสภาพที่ไม่มีการเข้าห้องหรือการให้ออกซิเจนและเพาะเลี้ยงต่อไปอีกเป็นเวลา 5 วัน (120 ชม.) และวัดการย่อยสลายสีได้จากผลลดลงของอัตราส่วนระหว่างค่าการดูดกลืนแสงที่ความยาวคลื่น 520 และ 350 นาโนเมตร (A_{520}/A_{350}) ซึ่งเป็นค่าความยาวคลื่นที่ทำให้เห็นการเปลี่ยนแปลงของค่าการดูดกลืนแสงได้มากที่สุดของสี Poly R-478 (Field *et. al.*, 1993) ผลการศึกษาพบราที่ย่อยสลายสีได้จำนวน 13 ไโอโซเลท ซึ่งสามารถแบ่งราเหล่านี้แบ่งออกได้เป็น 3 กลุ่มย่อย ดังนี้คือ กลุ่มที่ 1 เป็นราที่ย่อยสลายสีได้ดี โดยทำให้อัตราส่วน A_{520}/A_{350} ลดลงจากเริ่มแรกมากกว่าร้อยละ 70 ภายในเวลา 120 ชม. หลังเติมสี ซึ่งราในกลุ่มนี้มี 4 ไโอโซเลท ได้แก่ ราชสี P10, KK5, KY6.3 และ KY8 โดยทำให้ค่าอัตราส่วนลดลงจากเดิมร้อยละ 84.6, 81.8, 87.6 และ 71.6 ตามลำดับ กลุ่มที่ 2 เป็นราที่ย่อยสลายสีได้ดีปานกลาง โดยทำให้ค่า A_{520}/A_{350} ลดลงจากเดิมน้อยกว่าร้อยละ 60 ภายในเวลา 120 ชม. เช่นกัน ราในกลุ่มนี้มี 4 ไโอโซเลท ได้แก่ ราชสี CM4, KC7, KY2.2 และ KY25.1 โดยทำให้ค่าอัตราส่วนลดลงร้อยละ 50.5, 44.5, 56.1 และ 46.6 ตามลำดับ สำหรับราในกลุ่มที่ 3 นั้นทำให้ A_{520}/A_{350} ลดลงน้อยกว่าร้อยละ 40 ซึ่งมีจำนวน 5 ไโอโซเลท ได้

แก้ P4.2, P7, P14, KY14.2 และ RM โดยรายหล่านี้ทำให้อัตราส่วนลดลงจากเมื่อเริ่มเติมสีร้อยละ 24.5, 35.5, 36.5, 38.4 และ 25.4 ตามลำดับ นอกจากนั้นยังมีข้อสังเกตในราคากลุ่มที่ 3 อีกประการหนึ่งคือราในกลุ่มนี้ทำให้ค่า A_{520}/A_{350} ลดลงจากเดิมทันทีหลังการเติมสีลงไปในการเดี่ยงเชื้อ ตัวอย่างเช่น ในกรณีของ P4.2 ค่าอัตราส่วนที่วัดได้ในชม.ที่ 0 หลังเติมสีจะลดลงเป็น 0.665 เมื่อเทียบกับของชุดควบคุมซึ่งมีค่า 1.299 (ไม่ได้แสดงรายละเอียดไว้) แต่เมื่อบ่มเพาะเชื้อต่อไปค่าอัตราส่วนจะค่อยๆ ลดลงเพียงเล็กน้อยเท่านั้นและในชม.ที่ 120 หลังการเติมสีจะยังมีค่าอัตราส่วนค่อนข้างสูงอยู่ คือเท่ากับ 0.420 หรือคิดเป็นอัตราส่วนที่ลดลงเพียงร้อยละ 24.5 จากเริ่มต้นเติมสี ซึ่งสามารถของการลดลงของค่าอัตราส่วนดังกล่าวทันทีหลังการเติมสีในราคากลุ่มที่ 3 นั้นอาจอธิบายได้ว่าเกิดจากการดูดซับสีของเส้นใยร้าซึ่งสังเกตได้จากการที่สีของเส้นใยจะเปลี่ยนเป็นสีเข้มพูดengของสี Poly R-478 ซึ่งทดสอบลงกับรายงานของ Wunsch และคณะ (1997) ที่พบการดูดซับสี Poly R-478 โดยเส้นใยของรากางชนิด ในขณะที่รา 2 กลุ่มแรกจะไม่พบการดูดซับสีของเส้นใยหรือพบน้อยมาก

สำหรับราอ้างอิง 2 สายพันธุ์ซึ่งได้แก่ *P. chrysosporium* TISTR และ *T. versicolor* TISTR นั้น พบว่าทำให้ค่า A_{520}/A_{350} ของสี Poly R-478 เปลี่ยนแปลงไปป้อนอย่างมากภายในระยะเวลา 120 ชม. (ตารางที่ 2) ทั้งนี้อาจเนื่องมาจากการเดี่ยงเชื้อที่ใช้ในงานวิจัยนี้สามารถกระตุ้นระบบเอนไซม์ย่อยสลายลิกินน์ได้น้อย เนื่องจากมีรายงานว่า *P. chrysosporium* มีกรรมการย่อยสลายลิกินน์สูงเมื่อเดี่ยงเชื้อที่อุณหภูมิ 37°C (Waldner *et. al.*, 1988) และมีการให้ออกซิเจนบริสุทธิ์รวมทั้งมีการบอนและไนโตรเจนปริมาณจำกัดในอาหารเดี่ยงเชื้อ (Tien and Kirk, 1983) นอกจากนี้การผลิตเอนไซม์ยังถูกกระตุ้นด้วยตัวกระตุ้นบางชนิด เช่น veratryl alcohol และ Mn (IV) (Gouto and Ratto, 1998) อย่างไรก็ตามในการวิจัยนี้ทำการเดี่ยงเชื้อที่อุณหภูมิห้องซึ่งต่ำกว่า 37°C นอกจากนั้นยังไม่มีการให้ออกซิเจนหรือตัวกระตุ้นแก่เชื้อรากแต่อย่างใดในระหว่างการเดี่ยงเชื้อ สำหรับ *T. versicolor* นั้นแม้ว่าไม่มีรายงานว่าออกซิเจนมีผลต่อการย่อยสลายสี Poly R-478 และการย่อยสลายลิกินน์แต่อาจมีปัจจัยด้านอื่นมาเกี่ยวข้อง เช่น สารอาหาร รวมทั้งสายพันธุ์ของเชื้อที่ใช้ เป็นต้น

เนื่องจากความสามารถในการย่อยสลายสี Poly R-478 ของเชื้อรามีความสัมพันธ์กับกิจกรรมของระบบเอนไซม์ย่อยสลายลิกินน์ (Field *et. al.*, 1993; Barbosa *et. al.*, 1996) ดังนั้นจึงได้นำราทั้ง 13 ไอโซเลทที่คัดเลือกได้ข้างต้นรวมทั้งราอ้างอิง 2 สายพันธุ์มาตรวจวัดการผลิตเอนไซม์ย่อยสลายลิกินน์ที่สำคัญ 2 ชนิด คือ เอนไซม์ลิกินนิโปร์ออกซิเดส และเอนไซม์แลคเคส โดยเดี่ยงเชื้อรากในสภาพเดียวกับที่ใช้ตรวจวัดการย่อยสลายสี Poly R-478 และวัดกิจกรรมของเอนไซม์ทั้งสองชนิดในส่วนน้ำเดี่ยงเชื้อที่แยกส่วนเส้นใยออกแล้ว โดยวัดในวันที่ 5 และวันที่ 7

ของการเลี้ยงเชื้อ ผลการศึกษาไม่พบกิจกรรมของลิกนินเปอร์ออกซิเดสในราหัง 13 ไอโซเลท รวมทั้งราอ้างอิง (บทที่ 4 ข้อ 4.2.1) การที่ตรวจไม่พบกิจกรรมของเอนไซม์ชนิดนี้นั้นอาจเป็น เพราะเชื้อร่าที่คัดเลือกได้นี้ไม่ผลิตเอนไซม์ย่อยสลายลิกนินชนิดนี้ หรืออาจผลิตได้ในรูปแบบ ไอโซเลทแต่สภาวะการเลี้ยงเชื้อที่ใช้ในการทดสอบไม่สามารถระบุต้นให้เกิดการผลิตในปริมาณที่ ตรวจวัดได้ ทั้งนี้เนื่องจากการผลิตเอนไซม์ชนิดนี้ต้องการสภาวะการเนิ่นนานที่จำเพาะดังที่กล่าว มาแล้วข้างต้น สำหรับแอลกอเคนน์พบกิจกรรมในรา 8 ไอโซเลทและพบในราอ้างอิงทั้ง 2 สาย พันธุ์ด้วย (ตารางที่ 3) โดยพบว่าราหัง 8 ไอโซเลทดังกล่าวเป็นราที่จัดไว้ในกลุ่มที่ 1 (ย่อยสลาย สีได้ดี) และกลุ่มที่ 2 (ย่อยสลายสีได้ปานกลาง) ดังนั้น แอลกอเคนน์จะเป็นเอนไซม์ชนิดหนึ่งของ ระบบเอนไซม์ย่อยสลายลิกนินที่เกี่ยวข้องกับการย่อยสลายสี Poly R-478 ของเชื้อร่า และเป็น การยืนยันว่าการย่อยสลายสี Poly R-478 ของเชื้อรานี้ความสัมพันธ์กับการผลิตเอนไซม์แอลกอเคน ซึ่งผลที่ได้ดังกล่าวสอดคล้องกับรายงานของ Barbosa และคณะ (1996) ที่พบกิจกรรมของแอลกอเคน ในราที่ย่อยสลายสี Poly R-478 ได้แต่ไม่พบกิจกรรมของลิกนินเปอร์ออกซิเดสหรือแมงกานีส เปอร์ออกซิเดส อย่างไรก็ตามตรวจไม่พบกิจกรรมของแอลกอเคนในรากลุ่มที่ 3 ซึ่งเป็นพวงราวที่ ฉุดก deinse ไว้ในสีน้ำเงินและทำให้ค่า A_{520}/A_{350} ลดลงเพียงเล็กน้อยภายในเวลา 120 ชม. ดังนั้นจึง เป็นการยืนยันว่าการย่อยสลายสีอย่างช้าๆ ของราในกลุ่มนี้ ไม่น่าเกี่ยวข้องกับกิจกรรมของแอลกอเคน แต่อาจเกิดจากกิจกรรมของเอนไซม์ย่อยสลายลิกนินชนิดอื่น เช่น แมงกานีสเปอร์ออกซิเดส ซึ่งมี รายงานว่าเมื่อบาทในการย่อยสลายสี Poly R-478 ในรา *P. chrysosporium* (Gold et. al., 1988) อย่างไรก็ตามในการศึกษานี้ไม่ได้ตรวจวัดกิจกรรมของเอนไซม์ดังกล่าวแต่อย่างใด สำหรับรา อ้างอิงทั้ง 2 สายพันธุ์นั้นพบกิจกรรมของแอลกอเคนด้วย แต่เนื่องจากพบว่าการย่อยสลายสี Poly R-478 ของราหังสองเกิดขึ้นช้ามาก ดังนั้นจึงอาจเป็นไปได้ว่าการย่อยสลายสีของราหัง 2 สายพันธุ์ นี้เกิดขึ้นโดยระบบเอนไซม์ย่อยสลายลิกนินที่ต่างออกไป

เมื่อพิจารณาปริมาณแอลกอเคนที่เชื้อรานแต่ละสายพันธุ์ผลิตขึ้นที่ระยะเวลาต่างๆ ของการ เลี้ยงเชื้อพบว่าราทุกสายพันธุ์มีกิจกรรมของเอนไซม์ในวันที่ 5 ของการเลี้ยงเชื้อ (ตารางที่ 1) เมื่อ บ่มเชื้อต่อไปจนถึงวันที่ 7 ส่วนใหญ่ยังพบกิจกรรมของแอลกอเคน แต่อาจมีปริมาณเพิ่มขึ้นหรือลด ลง ซึ่งผลการทดสอบที่ได้สอดคล้องกับผลการวัดการย่อยสลายสี ทั้งนี้เนื่องจากพบว่าอัตรา ทวน A_{520}/A_{350} ของสีเริ่มลดลงในช.ม. ที่ 24 หลังการเติมสี ซึ่งเท่ากับวันที่ 5 ของการเลี้ยงเชื้อ อย่างไรก็ตาม ไม่สามารถสรุปความสัมพันธ์ระหว่างอัตราการย่อยสลายสี Poly R-478 กับการผลิต แอลกอเคนได้เนื่องจากไม่ได้วัดการเจริญของราแต่ละไอโซเลท นอกจากนั้น ยังไม่ได้วัดกิจกรรมของ เอนไซม์ย่อยสลายลิกนินชนิดอื่นที่มีความเกี่ยวข้องกับการย่อยสลายสีด้วย

จากผลการศึกษาทั้งหมดทำให้สามารถคัดเลือกราชีว์อย่างสลายตัว Poly R-478 ได้ดีจำนวน 4 ไอโซเลท ได้แก่ รหัส P10, KK5, KY6.3 และ KY3 ซึ่งผลิตเอนไซม์แลคเคสได้ ในการศึกษาระยะต่อไปควรมีการศึกษาในแง่ต่างๆ เพิ่มเติม เช่น การตรวจวัดกิจกรรมของระบบเอนไซม์ ย่อยสลายลิกนินเพิ่มเติม การศึกษาปัจจัยที่มีผลต่อการเริบญและการผลิตเอนไซม์ย่อยสลายลิกนิน เป็นต้น ทั้งนี้เพื่อให้ได้ข้อมูลในการประยุกต์ใช้ประโยชน์จากการย่อยสลายลิกนินของราชาล่านี้ต่อไป

Babosa, A.M., Dekker, A.P.R., and St-Hardy, G.E. (1976). *Isobutyl alcohol as an inducer of increase by an extracellular, hydroxylase sp. which increased on the polymeric dye Poly R-478.* *Lett. Appl. Microbiol.* 23:93-96.

Beling, J.M. and Lebowitz, A. (1984). Comparative studies of extracellular fungal enzymes. *Appl. Environ. Microbiol.* 48(4):849-854.

Burwell, J.A. (1991). Fungal degradation of lignin. In: *Handbook of Applied Lignocellulose*, vol. 1. Arosa, D.K., Rai, B., Mukerji, K.G., and Knudsen, G.R. (editors), Marcel Dekker, Inc., New York, pp.87-106.

De Boer, J., Stadhouders, J.P.C. (1994). Production of some extracellular enzymes by *Agrocybe cylindracea*-processing growth of *Phanerochaete chrysosporium* and its competitive ability during lignocellulose degradation. *Appl. Environ. Microbiol.* 60(11):4213-4218.

de Bont, J.A.M., Jong, E., Falcao-Costa, G., and de Bont, J.A.M. (1993a). Screening for cellulolytic fungi capable to the biodegradation of xenobiotics. *Trends Biotechnol.* 11:44-49.

de Bont, J.A.M., Jong, E., Govaerts, G., Heijnen, E., and de Bont, J.A.M. (1993b). Screening for cellulolytic fungi capable to降解 *Mucorales* sp. OS55, a promising new isolate. In: *Biodegradation of Polymers: A Basis for Proper Protection*. Eijssackers, H.J.P. and Muyzer, G. (editors), Kluwer Academic Publishers, The Netherlands, pp.637-651.

ເອກສາຣອ້າງອີງ

Alexopoulos, C.J., Mims, C.W., and Blackwell, M. (1996). Phylum Basidiomycota: Order Aphyllophorales. In: *Introductory Mycology*, 4th edition. John Wiley&Sons, Inc., New York. pp.569-573.

Babosa, A.M., Dekker, R.F.H., and St Hardy, G.E. (1996). Veratryl alcohol as an inducer of laccase by an ascomycete, *Botryosphaeria* sp., when screened on the polymeric dye Poly R-478. *Lett. Appl. Microbiol.* 23:93-96.

Bollag, J.M. and Leonowicz, A. (1984). Comparative studies of extracellular fungal laccases. *Appl. Environ. Microbiol.* 48(4):849-854.

Buswell, J.A. (1991). Fungal degradation of lignin. In: *Handbook of Applied Mycology*, vol 1, Arora, D.K., Rai, B., Mukerji, K.G., and Knudsen, G.R. (editors), Marcel Dekker, Inc., New York. pp.425-480.

Dey, S., Maiti, T.K. and Bhattacharyya, B.C. (1994). Production of some extracellular enzymes by a lignin peroxidase-producing brown rot fungus, *Polyporus ostreiformis*, and its comparative abilities for lignin degradation and dye decolorization. *Appl. Environ. Microbiol.* 60(11): 4213-4218.

Field, J.A., de Jong, E., Feijoo- Costa, G., and de Bont, J.A.M. (1993a). Screening for ligninolytic fungi applicable to the biodegradation of xenobiotics. *Trends Biotechnol.* 11:44-49.

Field, J.A., de Jong, E., Feijoo- Costa, G., Heessels, E., and de Bont, J.A.M. (1993b). Screening for PAH degrading white-rot fungi: *Bjerkandera* sp.BOS55, a promising new isolate. In: *Integrated Soil and Sediment Research: A Basis for Proper Protection*. Eijackers, H.J.P. and Hamers, T.(eds.). Kluwer Academic Publishers, The Netherlands. pp.647-651.

Fergus, C.L. (1960). *Illustrated genera of wood decay fungi*. Burgess Publishing Co., Minnesota, USA. 132pp.

Gigi, O., Marbach, I., Mayer, A.M. (1981). Properties of gallic acid-induced extracellular laccase of *Botrytis cinerea*. *Phytochem.* 20:1211-1213.

Glenn, J.K. (1983). An extracellular H_2O_2 -requiring enzyme preparation involved in lignin biodegradation by white-rot basidiomycete *Phanerocheate chrysosporium*. *Biochem. Biophys. Res. Commun.* 114:1077-1083.

Glenn, J.K. and Gold, M.H. (1983). Decolorization of several polymeric dyes by the lignin-degrading basidiomycete *Phanerocheate chrysosporium*. *Appl. Environ. Microbiol.* 45(6):1741-1747.

Gold, M.H., Glenn, J.K., and Alic, M. (1988). Use of polymeric dyes in the lignin biodegradation assays. *Methods Enzymol.* 161:74-78.

Heinzkill, M. and Messner, K. (1997). The ligninolytic system of fungi. In: *Fungal Biotechnology*. Anke, T. (ed.). Chapman & Hall, Weinheim. pp.213-227.

Kantelinan, A., Hatakka, A., Viikari, L. (1989). Production of lignin peroxidase and laccase by *Phlebia radiata*. *Appl. Microbiol. Biotechnol.* 31:234-239.

Kersten, P.J., Kirk, T.K. (1987). Involvement of a new enzyme, glyoxal oxidase, in extracellular H_2O_2 production by *Phanerocheate chrysosporium*. *J. Bacteriol.* 169:2195-2201.

Kirk, T.K., Farrell, R.L. (1987). Enzymatic "combustion": the microbial degradation of lignin. *Ann. Rev. Microbiol.* 41:465-505.

Kirk, T.K., Schultz, E., Connors, W.J. et al. (1978). Influence of culture parameters on lignin metabolism by *Phanerocheate chrysosporium*. *Arch. Microbiol.* 117:277-285.

Kuwahara, M., Glenn, J.K., Morgan, M.A. *et al.* (1984). Separation and characterization of two extracellular H₂O₂-dependent oxidases from ligninolytic cultures of *Phanerocheate chrysosporium*. *FEBS Lett.* 169(2):247-250.

Michel, F.C. Jr., Dass, B., Grulke, E.A. *et al.* (1991). Role of manganese peroxidases and lignin peroxidases of *Phanerocheate chrysosporium* in the decolorization of kraft bleach plant effluent. *Appl. Environ. Microbiol.* 57(8):2368-2373.

Odier, E. and Artaud, I. (1992). Degradation of lignin. In: *Microbial Degradation of Natural Products*. Winkelmann, G. (ed.). VCH Publishers, Inc., NY. Pp.161-191.

Ollika, P., Alhonmaki, K., Leppanen, V.M. *et al.* (1993). Decolorization of azo, trimethyl methane, heterocyclic, and polymeric dyes by lignin peroxidase isoenzymes from *Phanerocheate chrysosporium*. *Appl. Environ. Microbiol.* 59(12):4010-4016.

Orth, A.B. and Tien, M. (1995). Biotechnology of lignin degradation. In: *The Mycota: A Comprehensive Treatise on Fungi as Experimental System for Basic and Applied Research*. Esser, K. and Lemke, P.A. (eds.). Springer-Verlag, Berlin, Heidelberg. pp. 287-302.

Paszczynski, A., Crawford, R.L. and Huynh, V.B. (1988). Manganese peroxidases of *Phanerochaete chrysosporium*: purification. *Methods Enzymol.* 161:264-270.

Paszczynski, A., Pasti-Grigsby M.B., Goszczynski, S. *et al.* (1992). Minerization of sulfonated azo-dyes and sulfanilic acid by *Phanerocheate chrysosporium* and *Streptomyces chromofuscus*. *Appl. Environ. Microbiol.* 58(11):3598-3604.

Rothschild, N., Hadar, Y., Dosoretz, C. (1995). Ligninolytic system formation by *Phanerocheate chrysosporium* in air. *Appl. Environ. Microbiol.* 61(5):1833-1838.

Spadaro, J.T., Gold, M.H., Renganathan, V. (1992). Degradation of azo dyes by the lignin-degrading fungus *Phanerocheate chrysosporium*. *Appl. Environ. Microbiol.* 58(8):2397-2401.

- Thurston, F. (1994). The structure and function of fungal laccases. *Microbiol.* 140:19-26.
- Tien, M., Kirk, T.K. (1983). Lignin-degrading enzyme from the hymenomycete *Phanerocheate chrysosporium* and burds. *Science.* 221:661-663.
- Tuor, U., Winterhalter, K., Fiechter, A. (1995). Enzymes of white-rot fungi involved in lignin degradation and ecological determinants for wood decay. *J. Biotechnol.* 41:1-17.
- Waldner, R., Leisola, M.S.A., and Fiechter, A. (1988). Comparison of ligninolytic abilities of selected white-rot fungi. *Appl. Microbiol. Biotechnol.* 29:400-407.
- Wunch, K.G., Feibelman, T. and Bennett, J.W. (1997). Screening for fungi capable of removing benzo[a]pyrene in culture. *Appl. Microbiol. Biotechnol.* 47:620-624.
- Zheng, Z., Levin, R.E., Pinkham, J.L., and Shetty, K. (1999). Decolorization of polymeric dyes by a novel *Penicillium* isolate. *Proc. Biochem.* 34:31-37.

ภาคผนวก ก

อาหารเลี้ยงเชื้อที่ใช้มีดังต่อไปนี้

Malt extract agar (Difco)

Maltose	12.75	กรัม
Dextrin	2.75	กรัม
Glycerol	2.35	กรัม
Bacto peptone	0.78	กรัม
Bacto agar	15.0	กรัม

PH 4.7 ± 0.2

Malt extract agar ที่มี streptomycin

เติมสารละลายนามว่า streptomycin sulphate (กำจัดเชื้อโดยการกรองผ่านเยื่อกรองขนาดช่อง 0.45 ไมครอน) 50 มิลลิกรัมต่อมล. 1 มล. ในอาหารเลี้ยงเชื้อ malt extract agar หลอมเหลวอุณหภูมิ 45-50° ปริมาตร 1 ลิตร ผสมให้เข้ากันก่อนเทใส่จานเพาะเชื้อ

Nitrogen-limited medium (ดัดแปลงจาก Gold et. al., 1988)

Glucose	10.10	กรัม
Diammonium tartrate	0.221	กรัม
Dimethylsuccinate	2.92	กรัม
Potassium dihydrogen phosphate	2.0	กรัม
Magnesium sulphate heptahydrate	1.45	กรัม
Calcium chloride น้ำเกลือ	0.132	กรัม
	1	ลิตร

pH 4.5

ภาคผนวก ข

Slide culture technique

มีขั้นตอนการทำดังนี้

- (1) เพาะเดี่ยงเชื้อราบนจานอาหาร malt extract agar จนไม่ซึ่เลิยมเจริญเกือบเต็มจาน หรือจนสร้างสปอร์
- (2) เตรียมจานเพาะเชื้อเปล่า ภายในวงแหวนแก้วรูปสามเหลี่ยม 1 อัน ซึ่งมีแผ่นสไลด์ วางอยู่ด้านบน นำไปปั่นเชื้อ
- (3) ใช้ใบมีดหรือเข็มเขี่ยเชือขนาดให้ญี่ปุ่ป้ายของตัวอาหารรุน malt extract agar เป็นรูปสี่เหลี่ยมขนาด 0.5×0.5 ซม. นำมาวางบนแผ่นแก้วในจาน
- (4) เขี่ยสปอร์หรือเส้นไชของเชื้อราที่ต้องการศึกษา นำมาแตะลงบนด้านทั้ง 4 ของชิ้นรุน ปิดด้านบนของชิ้นรุนด้วยกระบอกปิดสไลด์ปิดดูดเชื้อ
- (5) บ่มเพาะเชื้อที่อุณหภูมิห้องจนเห็นเส้นไช
- (6) นำกระบอกปิดสไลด์และสไลด์ที่มีเชื้อราเจริญไปตรวจดูภายใต้กล้องจุลทรรศน์